

ЕБ 20461<sup>(2)</sup>  
Р-59-XXI

МИНИСТЕРСТВО ГЕОЛОГИИ СССР  
НАУЧНО-ИССЛЕДОВАТЕЛЬСКИЙ ИНСТИТУТ ГЕОЛОГИИ АРКТИКИ  
(НИИГА)

# ГЕОЛОГИЧЕСКАЯ КАРТА СССР

масштаба 1:200 000

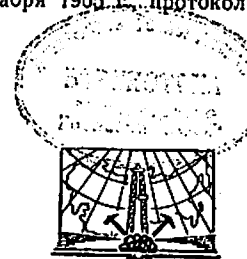
Лист Р-59-XXI

*Серия Корякская*

## Объяснительная записка

Составитель Г. А. Закржевский  
Редактор Б. Х. Егиазаров

Утверждено Научно-редакционным советом ВСЕГЕИ  
9 декабря 1965 г., протокол № 52



ИЗДАТЕЛЬСТВО «НЕДРА»  
МОСКВА, 1972

## ВВЕДЕНИЕ

Территория, ограниченная рамками листа Р-59-ХХI, расположена между  $61^{\circ} 20' - 62^{\circ} 00'$  с. ш. и  $170^{\circ} 00' - 171^{\circ} 00'$  в. д. Общая площадь ее составляет 3424 км<sup>2</sup>. По административному делению район относится к Корякскому национальному округу Камчатской области РСФСР.

Географическая территория находится в пределах южных отрогов центральной части Корякского нагорья, а в тектоническом отношении является частью Корякской складчатой системы.

Отроги Корякского нагорья рассматриваемой территории составляют: западная часть хр. Укэлайт, Апукский хребет и часть Пахачинского хребта. Западная оконечность хр. Укэлайт и северная часть Пахачинского расположаются на севере территории. Эти горные сооружения состоят из куполовидных массивов или вытянутых в широтном направлении гряд. Последние имеют узкие сложенные или гребневидные пилообразные водоразделы высотой от 1000 до 2067 м. Апукский хребет протягивается вдоль восточной границы района. Он представляет собой глубоко расчлененные крутосклонные горные массивы с гребневидными и коническими вершинами с абсолютными отметками от 1209 м (гора Аутан) на юге до 2009 м на севере. На склонах хребта Пахачинского хребта прилегают плато высотой 700—1200 м. Восточные склоны Пахачинского хребта целиком составляют такие плато с наивысшими отметками, достигающими 1123 м (гора Элляй).

Почти все реки рассматриваемой территории принадлежат бассейну р. Апуквайам, которая, слившись с р. Ачайваем за пределами района, образует р. Апuku, впадающую в Олюторский залив Берингова моря. Река Апуквайам начинается на северных склонах хр. Укэлайт и в направлении, близком к меридиональному, пересекает всю территорию. Долина реки хорошо разработана, ширина ее 5—10 км. Выше устья Яёльвайам долина заметно сужается, образуя «Каменные ворота». В среднем течении долину р. Апуквайам обрамляют скальные уступы плато. Русло р. Апуквайам врезано в днище долины на 15—25 м. Ширина русла в северной части района 30—35 м, а в южной 80—200 м. Глубина реки колеблется от 1,0 до 3,0 м. В половодье уровень воды против меженного поднимается на 1,5—2,0 м и река становится непроплавимой вброд. Скорость течения в это время достигает 3,5 м/сек. Летом река быстро мелеет: на перекатах глубина ее не превышает 1,0 м, а скорость течения падает до 1,5 м/сек. Притоки рр. Апуквайам и Ачайвайам представляют собой типичные горные реки с узкими корытообразными и V-образными долинами. На выходе из гор их русло врезано в коренное ложе. У мелких притоков наблюдаются широкие конуса выноса, ниже по течению русла ручьев часто бывают заболоченными с пропадающими водотоками.

Многочисленные озера долины р. Апуквайам имеют заболоченные берега. Некоторые из них окружены каменистым пляжем. Максимальная площадь зеркала озер не превышает 1 км<sup>2</sup>, глубина 3,0 м.

Климат района суровый субарктический. Осадки в течение года выпадают неравномерно. За период с июля по октябрь, по данным метеостанции пос. Апуха, выпадает 228 мм из общего количества годовых осадков (367 мм). Снеготаяние наступает в начале мая и заканчивается к июню. Реки вскрываются в конце мая. Весенний паводок длится до середины июня. В июле и

## ОГЛАВЛЕНИЕ

	Стр.
Введение . . . . .	3
Стратиграфия . . . . .	6
Интузивные образования . . . . .	20
Тектоника . . . . .	27
Геоморфология . . . . .	35
Полезные ископаемые . . . . .	37
Подземные воды . . . . .	44
Литература . . . . .	45
Приложения . . . . .	47

Редактор изд-ва Л. Г. Рожкова

Техн. редактор В. В. Романова

Подписано к печати 25/XII 1972 г. Формат 60×90<sup>1/16</sup>. Печ. л. 3,25.  
Уч.-изд. л. 5,5. Тираж 100 экз. Заказ 05386.

Издательство «Недра»  
Ленкартфабрика ВАГТ

августе погода переменчива — часты дожди и туманы. Температура воздуха в эти месяцы не превышает +10—+13° С. В начале сентября в горах выпадает первый снег. Окончательно снеговой покров ложится в середине октября. Реки замерзают во второй половине ноября. Зима холодная с метелями и пургами. Средняя температура зимних месяцев —20—25° С. По всему району наблюдается многолетняя мерзлота, которая в летний период оттаивает на глубину 1,0—1,5 м, реже 3 м.

Растительный покров района относится к горной тундре и кустарниковой подзоне тундры с зональным распределением растительности. На вершинах и склонах гор выше 1100 м гольцы имеют разреженный мохово-лишайниковый покров. Слоны гор ниже 1100 м до самого подножия заняты кедровым стлаником. Долины рек представляют каменистую заболоченную тунду, а на высокой пойме наиболее крупных рек участками произрастает лиственный лес, состоящий из тополя, ивы и березы с подлеском горной ольхи и рябины.

Из представителей животного мира встречаются бурые медведи, волки, росомахи, горные бараны, рыжие лисицы и тарбаганы. Гнездуются гуси, утки, куропатки, орланы белохвосты, канюки и чайки. Реки и озера богаты рыбой, в особенности из семейства лососевых.

В экономическом отношении район развит слабо. Ближайший пос. Ачайвам находится в 35 км от южной границы района. От этого поселка вверх по р. Апуквам и ее притокам проложены тропы, являющиеся путями сезонных перегонов оленевых стад, принадлежащих совхозам округа. Благодаря наличию густой сети речных долин с задернованным покровом район доступен для гусеничного транспорта.

Первые сведения о геологическом строении рассматриваемой территории были собраны в 1937 г. И. Г. Николаевым, Д. М. Колосовым, М. Г. Баковой и А. Е. Святловским — участниками Корякской экспедиции Всесоюзного Арктического института. Эти исследователи провели геологическую маршрутную съемку юго-восточных склонов Корякского нагорья, в результате которой были составлены геологическая карта района и дана первая стратиграфическая схема мезо-кайнозойских отложений. И. Г. Николаевым выделялись условно верхнемеловые вулканогенно-кремнистые отложения (ватынская свита), терригенные породы верхнего мела — палеогена (?), объединенные в ильпийскую свиту, а также отложения эоценена (?), верхнего олигоцена, верхнего миоцена и верхнего плиоцена, представленные вулканогенными и терригенными образованиями. В отложениях ватынской свиты в районе балки Натальи были обнаружены рудопроявления марганца.

В 1952 г. бассейны рр. Апуха, Пахача, верховья р. Вывенка и Олюторский полуостров были закартированы в м-бе 1:1 000 000, экспедицией Камчатского геологического управления под руководством В. А. Ярмолюка. Мезозойские отложения подразделялись на две толщи: терригенную корякскую и вулканогенно-кремнистую олюторскую (обе условно верхнемелового возраста). Выделялись также вулканогенно-осадочная вивинская (олигоцен — нижний миоцен) и пахачинская (миоцен) толщи. Последняя расчленялась на две свиты: морскую терригенную и континентальную угленосную. Угленосные отложения рассматривались В. А. Ярмолюком как фациальные аналоги верхних частей пахачинской толщи. К плиоцену относились эфузивно-пироскастические отложения (толща мыса Крещеного Огня).

В 1956 г. территория, ограниченная рамками листа Р-59-XXI, была закартирована в м-бе 1:1 000 000 Г. А. Закржевским, Ю. П. Дегтяренко и В. Ф. Мишиным (в составе Корякской экспедиции Института геологии Арктики под руководством Б. Х. Егиазарова).

В соответствии со стратиграфической схемой, предложенной И. Г. Николаевым, Г. А. Закржевский отнес вулканогенно-кремнистые отложения к ватынской свите, а терригенные — к ильпийской. Ватынская свита условно датировалась верхним мелом на основании находок радиолярий. Автором отмечалось, что характерную особенность отложений ватынской свиты составляют широко распространенные в ней горизонты красно- и зеленовато-бурых яшм с многочисленными обломками призматического слоя крупных пелеципод. К верхнему мелу также условно относились ильпийская свита. Отложения

третичного возраста Г. А. Закржевским подразделялись на ачайвамскую (верхний палеоген?) и апуквамскую (верхний миоцен — нижний плиоцен) свиты. Отложения апуквамской свиты соответствуют большей части пахачинской свиты, вследствие чего необходимость в сохранении апуквамской свиты как самостоятельного стратиграфического подразделения отпада (Егиазаров, 1962). В апукскую свиту ниже — среднечетвертичного возраста были объединены пологозалегающие эфузивы и туфы различного состава, относившиеся ранее И. Г. Николаевым к палеогену. Поисковыми работами были выявлены коренные проявления меди, мышьяка, марганца и серебра. По результатам шлихового опробования Г. А. Закржевским были рекомендованы некоторые участки, перспективные на ртуть.

В том же 1956 г. западная часть территории листа Р-59-XXI была закартирована в м-бе 1:500 000 геологами СВГУ А. Г. Погожевым и А. М. Садриевым. Вулканогенно-кремнистые породы объединялись ими в ватынскую свиту, возраст которой на основании находок обломков иноцерамов определялся как сеноман — турон. К сеноману — турону относилась и аяниканская свита, сложенная терригенными отложениями с прослоями яшм. Вышележащие терригенные отложения, в которых был обнаружен сенонский *Lucerinus lobatus* Goldf. А. Г. Погожев выделил в корякскую свиту. А. Г. Погожев сохранил пахачинскую свиту в объеме терригенной морской толщи, датируя ее средним — верхним миоценом. Континентальные же угленосные отложения им выделены в самостоятельную — эчвамскую — свиту плиоценового возраста. Поисковыми работами, проведенными А. Г. Погожевым было установлено, что северо-западная часть района является перспективной в отношении ртутоносности.

В 1959—1961 гг. проводились геологосъемочные работы м-ба 1:200 000 и редакционно-увязочные маршруты с целью выяснения и уточнения геологического строения района и выявления на его территории полезных ископаемых. Эти материалы положены в основу при составлении геологической карты листа Р-59-XXI, карты полезных ископаемых и объяснительной записки к ним. Помимо основного фактического материала, собранного Н. Н. Пагольским, М. К. Косяко, Б. В. Ермаковым (1960 г.), Г. А. Закржевским, Н. В. Устиновым, К. С. Агеевым и И. В. Губановым (1960—1962 гг.), автором частично были использованы материалы А. Г. Погожева (1958 г.) и Е. Е. Белкова (1958 г.).

В 1959 г. территория западной части района покрыта аэромагнитной съемкой м-ба 1:200 000, проведенной под руководством Л. А. Майкова (1960 г.).

Материалы геологосъемочных и редакционно-увязочных работ, нашли свое отражение в геологической карте листа Р-59 м-ба 1:1 000 000, карте полезных ископаемых и в объяснительных записках к ним (Егиазаров, Дундо, 1961 г.). Они были использованы при разработке темы 237 (Егиазаров, Дундо и др., 1962). В этих сводных работах рассматриваются основные черты геологического строения региона и закономерности размещения в его пределах полезных ископаемых.

С 1956 г. все геологические съемки проводились с привлечением аэрофотоматериалов, дешифрируемость которых для площадей развития молодых эфузивов удовлетворительная. На остальной территории листа дешифрируемость плохая.

Геологическая карта листа Р-59-XXI по северной границе неувязана с материком геологической карты листа Р-59-XV (автор Н. Н. Пагольский). Эта неувязка выражена в различном толковании возраста (и, соответственно, названия) толщ и свит, сбитых по простираннию литологии и структуре. Так, Н. Н. Пагольский считает, что ритмично переслаивающиеся алевролиты, песчаники и глинистые сланцы, выделенные на территории, ограниченной рамками листа Р-59-XXI, как аяонская толща, а также преимущественно песчаниковые отложения тавенской и эчвамской свит, следует рассматривать как образования палеогенового возраста (Пагольский, 1965). Авторы данной работы с такой точкой зрения согласиться не могут, так как установлено, что отложения тавенской свиты согласно перекрыты вулканогенно-кремни-

стыми образованиями аяонской серии, содержащей фауну иноцерам сантонского и кампанского времени. Таким образом, отложения, объединяемые в аяонскую толщу и тавенскую свиту, являются не более молодыми осадками по отношению к сантон-кампанскою времени, а более древними. Вопрос о возрасте энчайваемской свиты остается открытым. Авторам представляется правильным ее верхнемеловой возраст.

## СТРАТИГРАФИЯ

Территория в пределах площади сложена кремнистыми, терригенными, пирокластическими и эфузивными образованиями мелового, палеогенового и неогенового возраста. Значительное распространение имеют плиоценовые и нижнечетвертичные вулканогенные породы, а также верхнечетвертичные и современные рыхлые образования.

### МЕЛОВАЯ СИСТЕМА

#### Верхний отдел

Верхнемеловые отложения занимают около одной трети всей территории. Они представлены морскими терригенными, вулканогенно-кремнистыми и кремнисто-терригенными отложениями нижней части сенонского надъяруса, сантонского — кампанского ярусов и маастрихтского — датского ярусов (?).

#### Нижняя часть сенонского надъяруса

**Аяонская толща ( $Cr_2aj$ ).** Отложения этой толщи являются наиболее древними в районе. Они развиты в северной части территории, где приурочены к ядру Яэльвайямской антиклинали. Слагают толщу ритмично переслаивающиеся полимиктовые алевролиты, песчаники и глинистые сланцы интенсивно дислоцированные в серии изоклинальных складок. Разрез верхней части толщи наблюдался по правому притоку р. Кай-Ачи. Здесь обнажаются (снизу вверх):

1. Светло-серые среднезернистые массивные песчаники с редкими прослойями (2—10 см) глинистых сланцев . . . . . 20 м
2. Черные глинистые сланцы, переслаивающиеся с тонкими (5—20 см) единичными пластами мелкозернистых песчаников . . . . . 100 „
3. Темно-серые или черные глинистые сланцы и алевролиты с редкими будинированными прослойками (3—8 см) мелкозернистых песчаников и плоскими дисковидными конкрециями глинисто-известковистого и кремнистого состава. Размер конкреций в среднем 10×50 см . . . . . 260 „
4. Темно-серые глинистые сланцы, переслаивающиеся с песчаниками. Мощность прослоев сланцев 20—50 см, песчаников 5—15 см . . . . . 190 „
5. Черные глинистые сланцы с редкими прослойками (1—2 см) мелкозернистых песчаников . . . . . 30 „

Мощность отложений аяонской толщи по правому притоку р. Кай-Ачи 600 м.

Аналогичные неполные разрезы аяонской толщи наблюдались в среднем течении руч. Тыкельныи и по береговым обрывам правого истока р. Яэльвайям. Общая мощность отложений аяонской толщи, вероятно, около 1000 м.

Органические остатки в отложениях аяонской толщи в районе не найдены.

#### Сантонский — кампанийский (?) ярусы

**Тавенская свита ( $Cr_2tv$ ).** Залегает согласно на отложениях аяонской толщи, образуя крылья Яэльвайямской антиклинали. Состоит преимущественно из полимиктовых песчаников, ритмично переслаивающихся с алевролитами и аргиллитами. Самые нижние горизонты свиты представлены линзами и пластами конгломератов или гравелитов, реже массивными песча-

никами с сингенетической галькой черных аргиллитов. Характерной особенностью этих отложений является четкое переслаивание флишевого типа.

На южном крыле Яэльвайямской антиклинали (по правым притокам среднего течения р. Яэльвайям Левая) на аргиллитах аяонской толщи согласно залегают (снизу вверх):

1. Светло-серые средне- и крупнозернистые массивные песчаники с сингенетической галькой черного аргиллита. Среди песчаников встречаются несколько пластов средневалунных конгломератов и гравелитов мощностью 0,3—10,0 м. Степень окатанности кластического материала конгломератов и гравелитов хорошая. Состоит они из яшм, кварцитов, аргиллитов и глинистых сланцев. Изредка встречаются кварцевые порфиры и гранодиориты. Цементирующая масса конгломератов и гравелитов кварцевая и кварц-хлорит-глинистая . . . . . 50 м
2. Серые средне- и мелкозернистые массивные песчаники, ритмично чередующиеся с темно-серыми аргиллитами в слоях мощностью до 5 м. В верхней части пачки грубое чередование пород сменяется тонким, появляются горизонты аналогичных по составу песчаников и алевролитов, переслаивающихся в слоях по 3—5 см . . . . . 100 „
3. Темно-серые аргиллиты с линзами и пластами (мощностью до 20 м) серых мелкозернистых песчаников . . . . . 200 м
4. Темно-серые мелкозернистые песчаники, ритмично переслаивающиеся с алевролитами в слоях мощностью до 5 см . . . . . 200 „
5. Темно-серые мелко- и среднезернистые песчаники, чередующиеся в слоях по 5—10 м с пачками (3—5 м) ритмично слоистых песчаников и алевролитов. В основании пачки залегает 2-метровая линза гравелитов . . . . . 500 „
6. Серые и темно-серые мелкозернистые песчаники, ритмично чередующиеся с алевролитами в слоях от 2 до 50 см . . . . . 450 „

Мощность наблюдаемой части наиболее полного разреза отложений тавенской свиты по правому притоку р. Яэльвайям Левая 1500 м. Аналогичные разрезы отложений свиты наблюдались по простирианию в 2,5 км к западу от приведенного разреза, а также в нижнем течении р. Як-Яквайям.

Отложения тавенской свиты северного крыла Яэльвайямской антиклинали характеризуются существенным преобладанием полимиктовых песчаников над алевролитами и аргиллитами и отсутствием конгломератов в нижних частях разреза свиты. Разрез этих отложений составлен в среднем течении р. Як-Яквайям и на южных склонах горы Як-Як, где последовательность напластования пород следующая (снизу вверх):

1. Серые и светло-серые среднезернистые песчаники. Строение ритмов: светло-серый среднезернистый массивный песчаник с сингенетической галькой темно-серых глинистых сланцев . . . . . 0,6—3,0 м; серый мелкозернистый тонкослоистый горизонтально-или косослоистый песчаник — 0,3—0,4 м; темно-серый алевролит — 0,05—0,1 м. Последний компонент ритма часто отсутствует . . . . . 700 м
2. Серые крупно- и среднезернистые песчаники. Ритмы построены по схеме: серый крупно- или среднезернистый песчаник массивный с сингенетической галькой темно-серых глинистых сланцев — 4—5 м; серый мелко- или среднезернистый слоистый песчаник — 1—2 м; темно-серый алевролит или глинистый сланец — до 0,2 м . . . . . 180 м
3. Серые мелкозернистые песчаники. Строение ритмов: серый среднезернистый массивный песчаник — 0,8—2,0 м; песчаник мелкозернистый темно- или зеленовато-серый тонкослоистый, реже косослоистый — 0,3—2,0 м; темно-серый алевролит или глинистый сланец — 0,1—0,2 м . . . . . 140 „
4. Серые песчаники средне- или мелкозернистые. Строение ритмов: серый среднезернистый песчаник — 3—12 м;

серый мелкозернистый песчаник, чередующийся (1:1) с про-  
слойми серого или темно-серого алевролита мощностью от 5—  
10 см до 5—20 м.

180 „

Мощность отложений (неполная) тавенской свиты в среднем течении  
р. Як-Якваем 1200 м.

Общая мощность тавенской свиты 1500 м.

Отложения аяонской толщи и тавенской свиты крайне бедны органическими остатками. По данным Н. Н. Патольского (1960 г.), в алевролитах, обнажающихся по одному из правых притоков р. Кай-Ачи и отнесенных к отложениям верхних горизонтов аяонской толщи были обнаружены форамиинферы (определения Г. С. Сосипатровой), по-видимому, принадлежащие к *Pleurostomellidae*, представители которого встречаются начиная с нижнего мела. А. В. Дитмар (1960 г.) приводит сведения о том, что в терригенных образованиях, аналогичных верхним горизонтам аяонской толщи на южном склоне горы Ледяной (в районе, расположенному примерно в 30 км к востоку), были обнаружены (определения Н. М. Муратовой и В. В. Павлова) споры и пыльца хвойных: *Lycopodium aff. marginatum* K.—M., *Leiotriletes* sp., *Ginkgo* sp., *Pinus* sp. подрода *Haploxyylon*, *Pinus* sp. подрода *Diploxyylon*, которые указывают, что отложения, содержащие эти остатки, не древнее верхних горизонтов нижнего мела.

Как видно из заключений палеонтологов, возраст рассматриваемого комплекса отложений по содержащимся в них органическим остаткам не может быть определен точнее, чем меловой. Однако, принимая во внимание более низкое стратиграфическое положение этих отложений по отношению к согласно перекрывающим ее отложениям ватынской серии, можно полагать, что формирование их, вероятно, относится к досантон-кампанскому времени. Анализируя же материалы по стратиграфии меловых отложений всей восточной части Корякского нагорья О. П. Дундо (1962 г.) приходит к выводу о том, что время формирования отложений аяонской толщи и тавенской свиты, возможно, ограничено нижней частью сенонского надъяруса.

**Ватынская серия ( $Cr_2Vf$ ).** Вулканогенно-кремнистые образования, слагающие серию, развиты широкой полосой к югу от поля распространения отложений аяонской толщи и тавенской свиты. Они приурочены к долинам рр. Яёльваем Левой и Майн-Ачиканджауваем, где эти образования участвуют в строении нескольких узких синклинальных и антиклинальных складок широтного простирания.

На рассматриваемой территории ватынская серия согласно залегает на отложениях тавенской свиты. Взаимоотношения серии с более молодыми верхнемеловыми отложениями ачайваемской свиты в районе не установлены.

Вулканогенно-кремнистые образования ватынской серии по простиранию имеют невыдержаный литологический состав и часто, отдельные пачки меняются в мощностях и фациально замещаются. Расчленение ватынской серии оказалось возможным лишь для района левобережья р. Яёльваем Лвая, где К. С. Агеев (Закржевский, Агеев, 1961) подразделяет серию на четыре согласно залегающие толщи (снизу вверх): вулканогенную, туфогенно-терригенную, кремнистую и терригенно-кремнистую.

Для остальной территории ватынская серия не расчленяется на толщи, поэтому на карте она показана единым комплексом сантон-кампанского возраста.

Вулканогенная толща развита узкой полосой в бассейнах рр. Яёльваем Лвая и Майн-Ачиканджауваем, где она сохранилась в остаточных ядрах синклинальных складок. Эта толща обнажается и в антиклинальном своде из-под верхнемиоценовых—плиоценовых эффузивов в верховьях рр. Млеты-ваем, Навкерваем и Нанкичнатваем. Представлена она туфами и лавами базальтов, лавобрекчиями и мицдалекаменными порфиритами, испытавшими интенсивные зеленокаменные изменения и карбонатизацию. В разрозненных выходах вулканогенной толщи были встречены спилиты.

Максимальный по мощности разрез вулканогенной толщи наблюдался в 8 км от устья р. Майн-Ачиканджауваем, где согласно на алевролитах тавенской свиты залегают (снизу вверх):

1. Туфы базальтов и андезитов псаммитовые кристалло-литокластические массивные серо-зеленого цвета. Слагают их обломки базальтов: базальтовых или андезитовых порфиритов, вулканических стекол и осколков породообразующих минералов этих эффузивов 240 м

2. Базальтовый мицдалекаменный порфирит с вкраплениками авгита и плагиоклаза. Мицдалыны выполнены кварцем, альбитом, эпидотом, карбонатом и халцедоном 10 „

3. Туфы базальтов и андезитов кристалло-литокластические, псаммитовые, массивные, на выветрелой поверхности лимонитизированные 50 „

4. Лавобрекции базальтовых порфиритов глыбовой или брекчевой текстуры. Состоят из слабо оплавленных глыб и обломков неправильной угловатой формы размером от 0,5 до 2,0 м. Как обломки, так и связующая их масса сложены базальтами или базальтовыми порфиритами 200 м

Мощность вулканогенной толщи 500 м.

Туфогенно-терригенная толща имеет подчиненное развитие и обнажается лишь на крыльях наибольее крупных синклинальных складок. Отложения толщи в районе левобережья р. Яёльваем Лвая залегают на вулканогенной с незначительным размытом и согласно перекрываются породами кремнистой толщи. Туфогенно-терригенная толща сложена ритмично-слоистыми средне- и мелкозернистыми серо-зелеными вулканомиктовыми песчаниками, алевролитами и аргиллитами с кремнистым, кремнисто- или карбонатно-глинистым цементом. В количестве 10—15% от общей мощности толщи присутствуют прослои псаммитовых туфов базальтовых порфиритов. Мощность туфогенно-терригенной толщи 200 м.

Кремнистая толща обнажается на крыльях синклиналии левобережья р. Яёльваем Лвая и в долине р. Хачиливаем (правый приток р. Апукваем). Она залегает согласно на туфогенно-терригенной толще.

По левому притоку р. Яёльваем Лвая, впадающему в нее в 10 км от устья, нижняя часть кремнистой толщи сложена (снизу вверх):

1. Зеленые вулканомиктовые кремнистые алевролиты, переслаивающиеся с пелитолитами, яшмами (в слоях, мощность которых колеблется от 5 до 40 см) и линзами органогенных известняков. В алевролитах собрана фауна: *Inoceramus ex gr. schmidtii* Mich., *Ratella* (*Helcion*) *gigantea* Schmidt var. *nasuta* Schmidt 40 м

2. Шоколадные или красно-коричневые вулканомиктовые кремнистые алевролиты, переслаивающиеся в верхней части пачки с зелеными вулканомиктовыми песчаниками 30 м

3. Темно-серые и зеленоватые кремнистые вулканомиктовые алевролиты 100 „

Мощность приведенного разреза 170 м.

Верхняя часть кремнистой толщи представлена однообразно переслаивающимися яшмами и алевролитами мощностью 500—530 м.

Общая мощность кремнистой толщи около 700 м.

Терригенно-кремнистая толща сложена ритмично-слоистыми пестро окрашенными вулканомиктовыми кремнистыми песчаниками, алевролитами, кремнистыми аргиллитами и пелитолитами. В толще выделяются два мезоритма, каждый из которых характеризуется уменьшением вверх по разрезу количества прослоев песчаников, постепенным сокращением их мощностей, а также изменением тона окраски пород от густозеленых в нижних частях мезоритма до красно-коричневых — в верхних. Кроме того, в нижних частях каждого мезоритма присутствуют слои разнозернистых песчаников с гравийными обломками темно-серых и красно-коричневых алевролитов и пелитолитов. Мощность толщи 300 м.

Общая мощность ватынской серии 1700 м.

Возраст отложений ватынской серии определяется по находкам *Inoceramus cf. Schmidt Mich.*, *In. cf. orientalis Sok.*, *Patella (Helcion) gigantea Schmidt var. nasuta Schmidt*, которые, по заключению В. Н. Верещагина, характерны для сантонского и кампанско-ярусов.

Аянкинская свита ( $Cr_2an$ ). Кремнисто-терригенные отложения, объединенные в эту свиту, развиты на междуречье Пахача и Апукваем в северо-западной части района. Они слагают разобщенные мульды узких S-образных складок восточно-северо-восточного простирания. Выходы отложений свиты приурочены преимущественно к положительным формам рельефа, и представляют собой гребни, состоящие из скальных останцов.

Взаимоотношения между аянкинскими и тавенской свитами наблюдались в верховьях р. Як-Якваем. Здесь на аргиллиты и алевролиты тавенской свиты согласно налагает пачка ритмично переслаивающихся вулканомиктовых гравелитов, песчаников и алевролитов, слагающих нижние горизонты аянкинской свиты. Обычно же взаимоотношения между этими свитами замаскированы осыпями или зонами катализированных пород тавенской свиты.

Аянкинскую свиту слагают вулканомиктовые гравелиты, песчаники и алевролиты, а также полимиктовые и кварц-полевошпатовые песчаники и алевролиты.

Разрез отложений аянкинской свиты составлен в верховьях р. Кай-Ачи и на левобережье р. Апукваем (восточнее высоты 1303 м). Свиту слагают (снизу вверх):

1. Вулканомиктовые гравелиты и песчаники с кремнистым или глинисто-хлоритовым цементом, ритмично переслаивающиеся с темно-серыми или черными (с фиолетовым оттенком) алевролитами и аргиллитами в слоях мощностью от 0,1 до 5 м. В основании пачки залегают линзы вулканомиктовых гравелитовых песчаников (мощностью 0,5 м) с валунами мелкогалечных конгломератов, состоящих из гальки кремнистых пород. Цемент этих конгломератов также кремнистый. В основании ритмов присутствует сингенетическая галька темно-серых и черных кремнистых аргиллитов и алевролитов в количестве до 5%, а иногда наблюдаются отчетливые размыты подстилающего слоя . . . . .

2. Светло-серые с зеленоватым или бордовым оттенком кремнистые алевролиты с грифельной отдельностью. В породе содержатся мелкие округлые стяжения марказита размером 2–5 мм . . . . .

3. Светло-серые средне- и мелкозернистые полимиктовые или кварц-полевошпатовые песчаники, переслаивающиеся (в слоях мощностью по 5–10 см) с темно-серыми алевролитами . . . . .

180 м

120 "

500 "

Общая мощность отложений аянкинской свиты составляет около 800 м.

В отложениях аянкинной свиты органические остатки, кроме редких радиолярий плохой сохранности, не установлены. Этот комплекс отложений является возрастным аналогом, по-видимому, нижних горизонтов вулканогенно-кремнистых образований ватынской серии. Косвенно это подтверждается одинаковым стратиграфическим положением сравниваемых подразделений, согласно залегающих на одних и тех же слоях тавенской свиты, а также сходной литолого-петрографической характеристикой вулканомиктовых и кремнистых пород, участвующих в строении разрезов этих отложений.

Эничайвеемская свита ( $Cr_2en$ ) залегает, вероятно, с размывом на подстилающих ее отложениях тавенской свиты, завершая собой разрез верхнемеловых отложений верховьев р. Апукваем.

Наблюдавшаяся (нижняя) часть свиты слагает южное крыло Маёклива-ямской синклиналии северо-восточного угла района. Свиту слагают массивные песчаники, которые вверх по разрезу сменяются мелкозернистыми песчаниками с прослоями аргиллитов. В верховьях р. Иртыкваем разрез отложений, относимых к эничайвеемской свите, составляют (снизу вверх):

10

1. Серые, на выветрелой поверхности слабо обожженные, мелко- и среднезернистые массивные полевошпато-кварцевые песчаники. Среди кластических обломков в песчаниках присутствуют зерна сфена, бурого и зеленого турмалина, а также калиевого полевого шпата . . . . .

250 м

2. Серые крупно- и среднезернистые слоистые (по 3–5 м) песчаники. В нижней части каждого слоя присутствуют (в количестве 5–10%) обломки темно-серых аргиллитов. В верхней наблюдается отчетливая горизонтальная слоистость . . . . .

150 "

3. Серые мелко- и среднезернистые массивные песчаники с про- слоем (0,3 м) полимиктовых мелкогалечниковых конгломератов . . . . .

30 "

4. Серые среднезернистые горизонтально слоистые песчаники (0,05–0,30 м), переслаивающиеся с мелкозернистыми тонкослоистыми песчаниками (до 0,1 м). Вверх по разрезу мощности пластов среднезернистых песчаников возрастают до 1,0 м и между ними появляются тонкие прослои мелкозернистых песчаников и аргиллитов . . . . .

200 м

Мощность наблюдавшейся части эничайвеемской свиты 630 м.

В отложениях, отнесенных к эничайвеемской свите, на рассматриваемой территории органические остатки не встречены. Принимая во внимание более высокое стратиграфическое положение свиты по отношению к отложениям тавенской свиты, а также некоторое литологическое сходство этих отложений со стратотипом эничайвеемской свиты (Л. А. Анкудинов, Ю. Г. Егоров, Т. В. Тарасенко, В. А. Титов и др.), мы условно относим преимущественно песчаниковые отложения, развитые в верховьях р. Апукваем, к верхней части секонского надъяруса, предполагая, что они, вероятно, синхронны по времени формирования с отложениями ачайваемской свиты.

### Маастрихтский — датский (?) ярусы

Ачайваемская свита ( $Cr_2ac$ ). Отложения, отнесенные к ачайваемской свите, обнажаются в нескольких скальных останцах на юге рассматриваемой территории по одному из притоков р. Кананон. Это пестро окрашенные в серо-зеленые, ржаво-бурые и белесые тона базальты, андезито-базальты и базальтовые порфириты миндалекаменной текстуры, обычно интенсивно цеолитизированные, карбонатизированные и эпидотизированные. Местами лимонитизированы и с поверхности имеют ржаво-бурый цвет.

Взаимоотношения этих вулканогенных образований с более древними отложениями, как уже отмечалось выше, в районе не наблюдались. Для территории бассейна р. Ачайваем, расположенной в непосредственной близости от восточной границы рассматриваемого района, Г. А. Закржевским (1962) предполагается их почти согласное залегание на вулканогенно-кремнистых породах ватынской серии при незначительном размыве последних.

Отложения ачайваемской свиты несогласно перекрываются плюценовыми вулканогенными образованиями корфовской свиты. Мощность наблюдавшейся части отложений ачайваемской свиты менее 100 м.

Органические остатки в отложениях ачайваемской свиты на рассматриваемой территории не обнаружены. За пределами района в бассейне р. Ачайваем, где эти отложения занимают значительную площадь, а их наблюдавшийся разрез имеет мощность около 1000 м (А. В. Дитмар, К. С. Агеев, 1962 г.), Г. А. Закржевским собраны (определения В. Н. Верещагина): *Modiolus* sp., *Ostrea* sp., *Lima* sp., *Inoceramus* sp., и обломок неопределенного аммонита. Эти сборы дополнены в 1962 г. коллекцией А. В. Дитмара и К. С. Агеева, из которой О. П. Дундо определен *Inoceramus* sp. indet. (напоминающий *Inoceramus balticus* Bohem.), свидетельствующий о верхнемеловом возрасте вмещающих отложений. В случае принадлежности инонекрама к виду *Inoceramus balticus* Bohem., то мнению О. П. Дундо, возраст отложений может быть уточнен и определен как кампан—маастрихт.

Принимая во внимание возраст палеонтологических находок, а также общую значительную мощность отложений свиты, мы ограничиваем время формирования осадков ачайвайямской свиты интервалом, включающим верхнюю часть сенона (маастрихта) — датский ярус (?).

## ПАЛЕОГЕНОВАЯ — НЕОГЕНОВАЯ СИСТЕМЫ

### Верхний олигоцен — нижний миоцен

**Ильпинская свита (Pgs—N<sub>1ii</sub>).** Отложения свиты обнажаются на нескольких небольших разобщенных участках в юго-восточной части района. Они наблюдались в верховьях рр. Нанкинчатаевам и Кай-Теклаваям, а также по правому притоку р. Майваем. Взаимоотношения этих отложений с более древними не установлены. Перекрываются они с угловым несогласием песчаниками пахачинской свиты и эффузивами корфовской свиты. Ильпинскую свиту слагают различные туфы, порфиры, известняки, туфопесчаники, мергели и аргиллиты.

В верховьях р. Нанкинчатаевам разрез ильпинской свиты следующий (снизу вверх):

1. Интенсивно катализированные порфиры белесого, серо-зеленого или бурого цвета с реликтовой порфировой структурой. Основная масса порфиритов нацело хлоритизирована, карбонатизирована и участками эпидотизирована	20 м
2. Темно-зеленые литокластические псевфитовые туфы, состоящие из обломков афанитовых и карбонатизированных порфиритов	5 ..
3. Светло-зеленые литокластические псевфитовые пятнистые туфы порфиритов	0,3 ..
4. Серо-зеленые литокластические псаммитовые туфы порфиритов тонкослоистые	68 ..
5. Бурые литокластические псевфитовые туфы порфиритов	30 ..
6. Серо-зеленые литокластические псаммитовые туфы порфиритов	4 ..
7. Брекчированные известняки, состоящие из обломков пятнистых, серо-зеленых и белых мелкокристаллических карбонатных пород	5 ..
8. Черные аргиллиты с редкими прослойками бурых алевролитов и горизонтами пиритизированных конкреций мергеля. В конкрециях присутствуют остатки (определения А. А. Герке и А. М. Белевич): <i>Rectoglandulina</i> (?) sp., ребристые <i>Nodosaria</i> sp. или <i>Dentalina</i> sp., <i>Lagenidae</i> (?), <i>Palymorphinidae</i> (?), <i>Buliminidae</i> (?), <i>Globigerinidae</i> (?), <i>Diatomea</i> ..	115 ..

Мощность наблюдавшейся части отложений ильпинской свиты в верховьях р. Нанкинчатаевам 250 м.

В верховьях р. Кай-Теклаваям отложения, отнесенные к ильпинской свите, представлены пологозалегающими светлоокрашенными скорлуповатыми туфопесчаниками и глинистыми сланцами с неопределенной фауной. Видимая мощность около 100 м.

Условно к ильпинской свите отнесены отложения, обнаженные по правому притоку р. Майваем. Здесь на протяжении 4 км наблюдается пологая антиклинальная складка субширотного простирания. Нижнюю часть разреза этих отложений слагают тонкослоистые (0,1—5,0 см) пепельно-серые и черные кремнистые породы. Мощность пачки 80 м. Верхняя часть разреза состоит из вулканомиктовых алевролитов, карбонатных пород (с тонкой вкрапленностью сульфидов), псаммитовых кристаллокластических туфов основных эффузивов, а также диатомитов и опалолитов с многочисленными прожилками и гнездами опала. В кремнистых породах (определения А. А. Герке и А. М. Белевич) присутствует микрофауна, напоминающая *Ammodiscus* sp., *Gloomsphera* и иеисные сечения аглютинированной фораминиферы, возможно, *Gaudryina* sp. Мощность пачки 20 м. Мощность отложений, обнажающихся по р. Майваем, 100 м.

Общая мощность наблюдавшейся части разреза отложений ильпинской свиты около 500 м.

Возраст отложений, относимых к ильпинской свите, по заключению А. А. Герке и А. М. Белевич, не древнее верхнего мела, возможно, палеогеновый. Принимая во внимание литологическое сходство охарактеризованных отложений с отложениями ильпинской свиты, развитыми в бассейне р. Пахачина (Б. Х. Егизаров, 1961 г.), возраст рассматриваемых отложений устанавливается как олигоцен-нижнемиоценовый.

### Средний и верхний миоцен

**Пахачинская свита (N<sub>1ph</sub>).** Отложения пахачинской свиты разбиты в южной части района, слагая пологую и широкую мульду. Кроме того, они обнажаются из-под плиоценовых эффузивов корфовской свиты в верховьях правых притоков р. Майваем.

Нижние горизонты средне- и верхнемиоценовых отложений в районе не наблюдались. За пределами рассматриваемой территории, в 15 км к югу Г. А. Закржевским (1956 г.) установлено, что средне- и верхнемиоценовые отложения с угловым несогласием залегают на вулканогенно-терригенных отложениях, отнесенных автором к ачайвайямской свите. Перекрыты отложения пахачинской свиты несогласно плиоценовыми эффузивами корфовской свиты. Средне- и верхнемиоценовые отложения представляют собой типичные молasses, сложенные однообразными зеленовато-серыми полимиктовыми песчаниками, гравелитами, конгломератами, известково-глинистыми алевролитами с эпигенетическими конкрециями, прослоями глинистых известняков и ракушняками. Известняки и конкреции окрашены в темно-серый цвет. Конгломераты и гравелиты имеют пеструю окраску и состоят преимущественно из обломков яшм, кварцитов и песчаников, в меньшей мере кайнотинных роговообманковых и пироксеновых андезитов, базальтов, а также спилитов и дацитов.

Отложения пахачинской свиты представляют собой единый макроритм, построенный по регressiveйной схеме, выраженной в увеличении снизу вверх по разрезу количества и мощностей отдельных прослоев конгломератов и гравелитов, и возрастании роли грубозернистых, плохо отсортированных песчаников.

Сводный разрез отложений свиты, по данным Г. А. Закржевского, имеет следующее строение (снизу вверх):

1. Серые и серовато-зеленые преимущественно мелко- и среднезернистые, горизонтальнослойственные песчаники. В них встречаются сингенетичные гальки аргиллитов, прослои (1—2 см) растительного дегрита, а также маломощные линзы гравийных и галечниковых конгломератов, содержащих обильную фауну пелеципод.

2. Пачка средне- и верхнемиоценовых отложений в обнажениях левого берега р. Апукваем, в 12 км ниже устья р. Нанкинчатаевам. Строение ритмов: серо-зеленые слойстые алевритовые известняки с известково-кремнистыми эпигенетическими конкрециями (размером до 1 м) и единичными гальками разнообразных пород. Фауна в породах этого ритма встречается редко. Представлена она тонкостенными пелециподами. Мощность 5—8 м; крупно- и грубозернистые плитчатые слойстые известковистые песчаники. Фауна встречается также редко. Мощность 2—4 м; гравелиты с карбонатным цементом, переполненные раковинами пелеципод и гастропод, из которых *Clinocardium decoratum* (Grew.) пользуются наиболее широким распространением. Мощность 10—15 см. Гравелитовые прослои в кровле подстилающего их горизонта иногда повторяются 2—3 раза с интервалами в 30—40 см.

3. Пачка слабо сцепментированных, грубозернистых песчаников с прослойями мелкогалечных конгломератов и гравелитов, переслаивающихся с валунными конгломератами. Эта пачка насыщена об-

ломками окремненной и углефицированной древесины *Pinus aleuticum* (определения А. Ярмоленко) и *Coniferae* (определения И. А. Шилкиной) . . . . . 100 „

Общая мощность наблюдавшихся отложений пахачинской свиты 1200 м. Пахачинская свита охарактеризована фауной<sup>1</sup> (коллекция Г. А. Закржевского, определения Л. В. Криштофович), которая распределяется по разрезу следующим образом. В нижних и средних горизонтах наблюдавшейся части свиты наиболее часто встречаются: *Yoldia aff. impressa* (Сопг.), *Tellina djakovi* Sto d., *Macoma aff. astori* (Dall), *M. cf. indentata* Сарг., *Laevo-cardium taracicum* (Yok.), *Clinocardium (Cerastoderma) decoratum* (Grew.), *C. ciliatum* (Fabr.), *Cardita cf. crebricostata* (Grasse), *Liocyma fluctuosa* (Gould), *Mytilus (Mytiloconcha) trampasensis* (Clark), *Modiolus aff. wajampolensis* Sto d., *Polinices (Euspira) galitano* (Dall), *Scaphander conradi* (Dall), *Echinorachnius blancoensis* (Kav.). В верхних горизонтах свиты появляются: *Yoldia chojlensis* (Sim.), *Clinocardium decoratum* (Grew.), *Cryptomya cf. californica* (Congr.), *Modiolus aff. rectus* (Congr.), *Mya japonica* (Yay.).

Время накопления осадков пахачинской свиты на основании присутствующего в ней комплекса фауны определяется как средний и верхний миоцен.

#### Верхний миоцен — плиоцен

Около половины рассматриваемой территории занято пологозалегающими лавами и туфами верхнемиоценового — плиоценового и нижнечетвертичного возраста. Эти вулканогенные породы обособляются в пределах Пахачинского и Апукского хребтов, являющихся разрушенными группами вулканических построек щитовидного типа. По существу эти сооружения уже потеряли характерный облик вулканов и их морфологические признаки устанавливаются лишь в форме частично сохранившихся наклонных лавовых плато, окружающих предполагаемые центры извержений.

На рассматриваемой территории верхнемиоценовые — плиоценовые отложения отнесены к корфовской свите (*Nkr*) и нижнечетвертичные — к апукской (*Qap*).

**Корфовская свита (*Nkr*).** Вулканические образования, объединенные в эту свиту имеют максимальное развитие. Свиту слагают туфоконгломераты и туфы, туфоловы, лавы андезитов, андезит-базальтов, дакитов, а также лавы базальтов и риолитов. В подчиненном количестве среди них присутствуют озерно-аллювиальные, делювиально-пролювиальные и элювиальные образования.

Взаимоотношения корфовской свиты с более древними толщами в районе сложные и в настоящее время еще до конца не выяснены. По притокам р. Апуквяям установлено, что часть вулканогенных образований, относимых к корфовской свите несогласно залегает на отложениях пахачинской свиты среднего и верхнего миоцена. В то же время соотношения наиболее древних образований свиты (развитых в Апукском хребте) и с отложениями пахачинской свиты — неизвестны. Для этих участков территории устанавливается угловое несогласие лишь между образованиями корфовской свиты и отложениями верхнего мела, с одной стороны, и условно верхнего олигоцена — нижнего миоцена — с другой.

На рассматриваемой территории разрезы корфовской свиты по простираннию не выдержаны как по составу, так и мощности.

Наиболее типичный разрез свиты обнажается в среднем течении р. Нанкочнатвяям, где установлено, что на размытой поверхности конгломератов пахачинской свиты несогласно залегают (снизу вверх):

1. Слонистые галечники, переслаивающиеся с желтыми мелкозернистыми песками, серо-желтой супесью и суглинками с линзами мергелистых глин. В верхней части этих образований суглинок содержит угольную крошку и гальки из обожренной и окремненной древесины, а также пыльцу (определения Ф. М. Левиной) древних хвойных типа *Coniferae*, споры *Dicksonia* и *Polypodium*. Кроме того, встречаются единичные экземпляры диатомовых водорослей (определения А. Н. Белевич): *Melosira sulcata* var. *siberica* Grun., *Stephanopyxis turris* (Grev. et Arn.), *Ralfsia Puxilla gracilis* Temp. et Fort. . . . . 10 м

2. Темно-серые массивные базальты . . . . . 20 „

3. Рыхлые туфоконгломераты, состоящие из слабо окатанных валунов и гальки-пористых андезитов. В слое присутствуют линзы слонистых туфопесчаников, содержащих пыльцу (определения Ф. М. Левиной) *Pinus silverstris* Siberica, *Picea*, *Coniferae*, *Betula*.

Из спор присутствуют: *Sphagnum* и *Leiotriletes* На и т. Кроме того, обнаружена пыльца: *Ericaceae*, *Pratiniae*, *Nymphaeae*, *Artemisia* и *Bryales*.

4. Темно-серые массивные базальты . . . . . 20 м

5. Туфоконгломераты, представленные слабо окатанными валунами и галькой красных и серых андезитов, сцепленных литокластическим псефитовым туфом андезитов . . . . . 40 „

6. Темно-серые массивные андезиты . . . . . 120 „

7. Туфоконгломераты и туфогравелиты, по составу аналогичные третьему горизонту . . . . . 80 „

150 „

Общая мощность 450 м.

Судя по многочисленным, но неполным разрезам корфовской свиты, наблюдавшимся в бассейне р. Нанкочнатвяям, следует отметить, что для верхних горизонтов свиты вообще характерны роговообманные андезиты, андезитоидные дакиты, а также их туфы.

На правобережье р. Апуквяям, в береговых обрывах рр. Майнгын-Эльвургинвяям и Майнгын-Эляйвяям верхняя часть корфовской свиты характеризуется присутствием пачек пепловых туфов с прослоями слабо сцепленных углистых аргиллитов, суглинков и растительного дегрита. Разрез, составленный по восточному склону горы Эляй, в этом районе следующий (снизу вверх):

1. Темно-серые массивные андезиты . . . . . 10 м

2. Темно-серые массивные андезито-базальты, в верхней части покрова полосчатые . . . . . 50 „

3. Бреекчевые лавы андезитов . . . . . 4 „

4. Рыхлые туфоконгломераты с линзами светлоокрашенных пепловых туфов . . . . . 25 „

5. Темно-серые массивные андезито-базальты . . . . . 9 „

6. Светло-серые массивные андезиты . . . . . 4 „

7. Бурые пепловые туфы смешанного состава тонко- и горизонтально-слоистые . . . . . 0,5 м

8. Розово-серые пористые андезиты . . . . . 4 „

9. Белые пепловые туфы плитчатые . . . . . 5 „

10. Светло-серые горизонтально-слоистые пепловые туфы . . . . . 1 „

11. Светло-серые слоистые пепловые туфы с прослоями гравия и гальки терригенных пород . . . . . 8 „

12. Темно-бурые пепловые рыхлые туфы . . . . . 5 „

13. Светло-серые пепловые рыхлые туфы, слоистые с прослоями обломков эффузивов . . . . . 0,5 „

Общая мощность разреза 125 м.

Отложения корфовской свиты, обнажающиеся на правобережье р. Апуквяям, кроме того характеризуются присутствием в них горизонтов пород, обогащенных комплексами спор и пыльцы, а также диатомовыми водорос-

<sup>1</sup> Список фауны приводится в сокращенном виде.

лями. Небольшой разрез отложений из нижних горизонтов корфовской свиты обнажается в верховьях р. Майнгын-Эльвургинваем, где установлены (снизу вверх):

1. Серый тонкоплитчатый вулканический пепел. В верхней части слоя вулканический пепел содержит мелкую гальку. В пеплах присутствуют споры и пыльца (определения Ф. М. Левиной): *Sphagnum*, *Lycopodium*, *Polypodiaceae*, *Leiotriletes*, *Taxodiaceae*, *Cupressaceae*, *Alnus*, *Betula*, *Carpines*, *Castanea*, *Cramineae*, *Labiateae*.

2. Желтый вулканический пепел со спорами и пыльцой: *Equisetum*, *Pinus*, п/р *Diploxyylon* и *Haploxyylon*, *Alnus*, а также диатомовые водоросли (определения А. М. Белевич) — *Ceratoneis arcus* (Еhr.) Кит., *Pinnularia* sp.

3. Валунно-галечниковый суглинок . . . . .

4. Серый тонкослоистый пелитовый вулканический пепел . . . . .

5. Светло-серый алевритовый вулканический пепел . . . . .

6. Светло-серый алевритовый вулканический пепел . . . . .

7. Светло-серый косослоистый алевритовый вулканический пепел . . . . .

8. Темно-серый горизонтальнослоистый алевритовый вулканический пепел . . . . .

9. Рыхлый валунно-галечниковый горизонт, состоящий из гальки различных эфузивов, кремней и песчаников. Здесь встречены споры и пыльца: *Sphagnum*, *Lycopodium*, *Leiotriletes*, *Coniferae*, *Salix*, *Alnus*, *Betula*, *Ericaceae*, а также диатомовые водоросли: *Melosira sulcata* var. *siberica* Grün., *Cyclotella kützingiana* Thw., *Tetracyclus lacustris* Ralfs., *Diatoma vulgare* Вегту, *Eunotia lunaris* (Ehr.) Grün., *E. robusta* var. *diadema* (Ehr.) Ralfs., *E. triodon* Ehr., *Pinnularia isostauron* Grün., *P. sp.*, *Caloneis bacillum* (Grün.) Мег. и обломки диатомовых из порядка *Centrales* и *Pennales* . . . . .

Общая мощность 14 м.

Верхние горизонты корфовской свиты наблюдались Н. Н. Пагольским по левому притоку р. Майнгын-Эляйваем, где обнажаются (снизу вверх):

1. Полимиктовые слабосцепментированные конгломераты с песчаным цементом . . . . .

2. Светло-серые тонкополосчатые алевритовые литокристаллокластические туфы андезитов . . . . .

3. Буровато-коричневые слабосцепментированные аргиллиты с углистыми прослойками (4—12 см), переполненными растительным детритом и обломками древесины. В аргиллитах были обнаружены споры и пыльца (определения А. А. Ильиной), из которых преобладает пыльца: *Pinaceae*, *Pinus* п/р *Diploxyylon*, *Pinus* п/р *Haploxyylon*, *Tsuga* и единично *Abies*, а также присутствует пыльца *Betulaceae*, *Alnus*, *Betula*, *Ericaceae* единичные зерна *Juglans*, *Myriophyllum* . . . . .

4. Темно- и светло-серые слоистые кристаллокластические алевро-псаммитовые и псевфитовые туфы андезитов . . . . .

5. Серые и темно-серые кристаллокластические алевритовые и псаммитовые туфы андезитов . . . . .

6. Серые и темно-серые кристаллокластические псаммитовые туфы андезитов . . . . .

Общая мощность разреза 13 м.

Вулканогенные образования корфовской свиты в северной части района (у высоты 2009 м, а также по правому борту р. Майн-Анкандауяям) характеризуются главным образом лавами, туфоловами и туфами дацитов и риолитов. Мощность вулканогенных образований возрастает в северо-восточном направлении.

Наиболее типичен для этой части района разрез, наблюдавшийся по западному склону высоты 2009 м (снизу вверх):

16

2,1 м

0,3 ..

1,0 ..

1,0 ..

0,1 ..

0,3 ..

0,7 ..

2,5 ..

3 м

1,8 ..

0,8 м

2,7 ..

1,5 ..

3,5 ..

1. В основании свиты на дислоцированных и размытых отложениях ватынской серии, аянской толщи и тавенской свиты с угловым несогласием залегают линзы конгломератов, делювиально-пролювиальных и элювиально-делювиальных образований. Они представлены обломками и галькой вулканических и кремнистых пород ватынской серии, перемешанными с глыбами кайнотипных туфов и различных лав, сходных с туфами и лавами апукской серии. Конгломераты включают в себя маломощные линзы пепловых туфов.

Наблюдениями В. Г. Терешкова (1962 г.) установлено, что подобные образования с примесью вулканомиктового материала содеряжат тонкие (0,2—0,3 м) прослои угля, состоящего из остатков стеблей, листьев и минерализованной древесины. Эта флора представлена (определения А. Ф. Ефимовой): *Betula* ex gr. *pumila* L., *Salix* cf. *densinervis* Кит., *S. aurita* L., *S. sp.* и *Picea* sp., свидетельствующие о верхнеплиоценовом или постплиоценовом возрасте вмещающих их отложений . . . . .

2. Светло-серые массивные андезитоидные дациты . . . . .

3. Белесые и желтоватые пепловые литокластические плитчатые туфы риолитов и дацитов . . . . .

4. Светло-серые и серые массивные андезиты и андезит-базальты в покровах мощностью от 5 до 50 м, перемежающиеся (10—30 м) с псевфитовыми и пепловыми кристалло-литокластическими туфами кислых эфузивов . . . . .

5. Риолиты витропорфировые флюидальной текстуры. Отдельные слойки вулканического стекла окрашены в серо-зеленый или бордовый цвет . . . . .

6. Интенсивно ожелезненные и хлоритизированные афировые плитчатые андезиты и пористые андезитоидные дациты в покровах мощностью по 15—20 м . . . . .

7. Литокластические туфоловы дацитов с шаровой отдельностью, переслаивающиеся с псевфитовыми литокластическими туфами кислых эфузивов в пачках мощностью от 15 до 50 м. Сложенены туфоловы остроугольными обломками и лапиллями дацитов (в количестве от 40 до 80% от объема породы), погруженными в черное со смоляным блеском вулканическое стекло флюидальной текстуры . . . . .

8. Серые кристалло-литокластические туфоловы дацитов, мелкоплитчатые с микроосферолитовой и флюидальной текстурой связующей массы вулканического стекла . . . . .

Мощность корфовской свиты в районе западного склона высоты 2009 м составляет 880—1900 м.

Общая мощность вулканогенных образований корфовской свиты 450—1900 м.

Корфовская свита в нижних своих частях охарактеризована неогеновыми диатомовыми водорослями *Melosira sulcata* var. *siberica* Grün., *Cyclotella kützingiana* Thw., *Tetracyclus Lacustris* Ralfs., *Diatoma vulgare* Вегту. и др. Верхние горизонты свиты содержат неогеновый — нижнечетвертичный споро-пыльцевой комплекс. Принимая во внимание эту палинологическую характеристику, а также геологическое положение свиты между средне-верхненемиоценовыми и нижнечетвертичными отложениями, для нее устанавливается верхненемиоценовый и плиоценовый возраст.

#### ЧЕТВЕРТИЧНАЯ СИСТЕМА

##### Нижнечетвертичные отложения

Апукская свита (Qiap) сложена андезитами и андезито-базальтами. Как исключение, среди лав встречаются горизонты туфов. Апукская свита несогласно залегает как на образованиях корфовской свиты, так и на

2 Зак. 05366

17

13394

более древних отложениях. Перекрываются лавы апукской свиты ледниково-водноледниковые верхнечетвертичными отложениями.

Наиболее полный разрез свиты наблюдался в верховьях р. Млетваем (район высоты 1888 м), где снизу вверх обнажаются:

1. Светло-серые массивные плитчатые андезиты . . . . .	110 м
2. Нечеткополосчатые плитчатые андезиты . . . . .	50 "
3. Серые массивные андезиты с горизонтами брекчийных лав (1—3 м) . . . . .	40 "
4. Массивные витрофировые андезиты. В основании покрова линзы брекчийных лав . . . . .	200 "
5. Пористые базальты в покровах по 10—15 м . . . . .	160 "
6. Массивные витрофировые андезиты . . . . .	10 м
Мощность приведенного разреза апукской свиты 600 м. В верховьях р. Майваем снизу вверх наблюдаются:	
1. Серые массивные андезиты . . . . .	10 м
2. Серые массивные андезито-базальты . . . . .	10 "
3. Светло-серые плитчатые базальты . . . . .	10 м
4. Массивные андезито-базальты. В кровле покрова лавы пористые, шлаковидные . . . . .	47 "
5. Массивные андезиты. В основании покрова залегает трехметровый горизонт брекчийных лав . . . . .	63 "
6. Псефитовые кристалло-литокластические туфы смешанного состава . . . . .	10 "
7. Массивные афанитовые андезиты. В основании каждого покрова (мощностью 15—20 м) залегают (1—1,5 м) горизонты брекчийных агломератовых лав . . . . .	50 "
8. Массивные андезиты . . . . .	120 "
Мощность свиты в верховьях р. Майваем 320 м.	

Общая мощность апукской свиты 600 м.

Время формирования апукской свиты определяется ее геологическим положением между дислоцированными отложениями корфовской свиты, относительными миоцену — плиоцену, и верхнечетвертичными водноледниковыми образованиями. Таким образом, формирование апукской свиты произошло в постплиоценовое — доверхнечетвертичное время. Нам представляется более достоверным ее нижнечетвертичный возраст.

#### Верхнечетвертичные отложения

К верхнечетвертичным отложениям относятся ледниковые и водноледниковые образования ( $Q^2_{III}$ ), накопление которых связано с долинным оледенением. Эти образования слагают основные и конечные морены, а также комплексы флювиогляциальных террас долины р. Апукваем и ее наиболее крупных притоков. Кроме того, ледниковые отложения в форме размытых гряд лавовых плато сохранились на абсолютной высоте около 600 м. Небольшое количество водноледниковых отложений выстилает днища узких маргинальных каналов.

Ледниковые и водноледниковые отложения залегают на размытом цоколе всех более древних, в том числе и плиоцен-нижнечетвертичных вулканогенных образований. Перекрывают их аллювиальные отложения современного отдела четвертичной системы.

Ледниковые отложения конечных и боковых морен представлены валунными суглинками и супесями, состоящими из плохо окатанных валунов и гальки, перемешанных со щебнем, супесчаным и суглинистым материалом. Обломочная часть моренных отложений представлена местными породами — различными эфузивами и туфами, песчаниками, яшмами и алевролитами. Обычно супесь и суглинки слабо уплотнены, реже моренный материал уплотнен до степени конгломерата и участками ожелезнен. Мощность основной морены — 4—6 м. Конечные морены образуют валы высотой 35—50 м.

Водноледниковые отложения флювиогляциальных террас обнажены в среднем течении р. Майнгын-Элляваем. Здесь эти образования представлены слоистыми светло-серыми супесями и суглинками (в слоях по 15—20 см) с прослойками ожелезненных песков, переслаивающимися с линзами косослонистых темно-серых песков, гравия, мелкой гальки и супеси. Мощность водноледниковых отложений по разрезу 12 м. Общая мощность этих отложений в районе около 50 м.

По данным диатомового анализа, супеси флювиогляциальных отложений содержат (определения А. М. Белевич) в большом количестве *Eunotia*, *Pinnularia*, *Compsopelta*, *Meridion circularie* Ag., которые свидетельствуют об образовании этих осадков в литоральной зоне холодного пресного водоема, зарастающего высшими растениями. Судя по обилию видов пресноводных четвертичных диатомовых водорослей и частот их встречаемости во флювиогляциальных отложениях, данная флора сходна с флорой последников и современных отложений некоторых районов центральной части Советской Арктики.

#### Современные отложения

Современные отложения ( $Q_{IV}$ ) представлены аллювиальными, ледниково-элювиально-делювиальными образованиями.

Наиболее полный разрез аллювиальных отложений наблюдался в пристьеевой части р. Яэльваем Левая, где сверху вниз обнажаются:

1. Серые суглинки . . . . .	0,3 м
2. Галечники горизонтальнослонистые, полимиктовые, плохо окатанные . . . . .	3 "
3. Гравийники полимиктовые, постепенно сменяющиеся глинистыми песками, содержащими споры и пыльцу (определение Ф. М. Левиной): <i>Bryales</i> 1, <i>Sphagnum</i> 8, <i>Lycopodium clavatum</i> 18, <i>Polypodiaceae</i> 10, <i>Selaginella</i> 2, <i>Pinus</i> n/p <i>Haploxyton</i> 20, <i>Alnus</i> 34, <i>Betula</i> 1, <i>Eicaceae</i> 2, <i>Labiate</i> 1, <i>Compositae</i> 1, <i>Artemisia</i> 2 . . . . .	2 "
4. Супесь слоистая с прослойем (2,5 см) плохо разложившегося оторванным суглинком в верхней части слоя. В суглинке (определение М. А. Метельковой) обнаружены древесина <i>Betula exilis</i> 25%, древесина <i>Pinus silvestris</i> 20%, тростник <i>Phragmites communis</i> 15%, тундровые кустарники 10%, сфагновые мхи <i>Sphagnum amblyphyllum</i> 10%, вахта <i>Menyanthes trifoliata</i> 15%, сабельник <i>Comarum palustre</i> 5%. Из супеси выделены (определение Ф. М. Левиной) споры и пыльца: <i>Bryales</i> 2 зерна, <i>Sphagnum</i> 1, <i>Lycopodium clavatum</i> 24, <i>Equisetum</i> 3, <i>Polypodiaceae</i> 8, <i>Selaginella</i> 1, <i>Pinus</i> n/p <i>Haploxyton</i> 2, <i>Alnus</i> 7, <i>Betula</i> 1, <i>Cypressaceae</i> 1 . . . . .	0,7 "
5. Галечники неслоистые, полимиктовые, плохо окатанные. В галечниках захоронены древесные лиги лиственных пород (тополя ?), стоящих вертикально, высотой 0,8 и 1,2 м, диаметром 40 см . . . . .	1,0 "

Общая мощность аллювиальных отложений около 7 м.

Данные споро-пыльцевого и ботанического анализов свидетельствуют о том, что эти аллювиальные отложения представляют собой современные пойменные и русловые фации, перемежающиеся со старичными образованиями. Поверхности последних представляли в свое время низменное, заросшее кустарником, болото с редкой древесной растительностью.

Современные ледниковые отложения территории связаны с оледенением (Ю. П. Дегтяренко, 1962 г.), испытывающим значительное сокращение и переход от долинного типа к каровому (Д. М. Колесов, 1945 г.). Представлены ледниковые отложения типичными моренными образованиями, сложенными неотсортированными глыбами, щебнем и суглинистым материалом местных пород, концентрирующимися у края современных ледников.

Элювиально-делювиальные образования развиты в районе почти повсеместно; они покрывают склоны гор широкими шлейфами.

Элювиальные образования наблюдаются преимущественно на поверхности лавовых покровов апукской свиты, где их мощность достигает 3–4 м. Делювиальные образования приурочены к склонам гор и их подножиям. Мощность делювиальных образований, вероятно, местами достигает 25 м.

## ИНТРУЗИВНЫЕ ОБРАЗОВАНИЯ

Рассматриваемая территория явилась областью активных проявлений магматической деятельности. На протяжении длительного отрезка времени, по крайней мере с сантон-кампаном и до среднечетвертичной эпохи, неоднократно происходили грандиозные вулканические извержения, вследствие которых были образованы мощные вулканогенные толщи ватынской серии, ачайваймской, корфовской и апукской свит. Периодически вулканизм сопровождался формированием интрузивных и субвулканических образований, которые могут рассматриваться как три комплекса: 1) миоценовый комплекс малых интрузий и даек; 2) плиоценовый комплекс субвулканических тел и даек; 3) четвертичный дайковый комплекс.

### МИОЦЕНОВЫЕ МАЛЫЕ ИНТРУЗИИ И ДАЙКИ

Малые интрузии и дайки миоценового возраста (комплекс — Яёльваймский) широко развиты главным образом в бассейне р. Яёльвайм. Они образуют несколько малых интрузий, а также группы субпараллельных даек, насыщенность которых вблизи штоков иногда достигает десяти на 1 км. Почти все дайки имеют простирание близкое к широтному, соответствующее направлению верхнемеловых структур. Мощность даек 0,5–50,0 м. По простиранию они прослеживаются на 5–8 км.

В состав комплекса входят диориты, диорит-порфиры, гранодиориты и гранодиорит-порфиры.

Диориты ( $\delta N_1$ ) слагают небольшие штоки, один из которых расположен в верховьях р. Яёльвайм Левая (площадь 2,5 км<sup>2</sup>), а два других обнаруживаются на водоразделе между левым и правым истоками р. Яёльвайм (площадью менее 0,25 км<sup>2</sup>). Это массивные, средне- и крупнозернистые породы серого цвета гипидиоморфозернистой структуры.

Диорит-порфиры ( $\delta\mu N_1$ ) обычно слагают краевые части штоков, а также некоторые дайки. Они обладают порфировидной структурой с призматически-зернистой и микролегматитовой структурами основной массы. Преобладающими минералами диоритов и диорит-порфириров являются: андезин № 40–45 (50–70%), моноклинный пироксен (20–40%) или обыкновенная роговая обманка (15–20%), биотит (5–10%), кварц (0–4%) и микролегматит (4–8%). Аксессорные минералы: апатит, циркон, сфен и шпинель. Порфировые выделения в диорит-порфириях представлены плагиоклазом (40%), роговой обманкой и биотитом (5%). Из вторичных минералов присутствует турмалин, кварц, эпидот, карбонат, хлорит, серцицит и лимонит, а также пирротин, арсенопирит, сфалерит, галенит, пирит и магнетит. Количества последних иногда достигает 10%.

Гранодиориты ( $\gamma\delta N_1$ ) слагают штоки, один из которых обнажается по среднему истоку р. Яёльвайм в 1 км ниже отметки 738 (площадь около 2 км<sup>2</sup>) и второй — в верховьях р. Этельвайм (площадь 0,15 км<sup>2</sup>). Породы обладают призматически-зернистой, участками гранулитовой структурами. Это светло-серые, на выветрелой поверхности белесые, желтоватые или розоватые породы.

Гранодиорит-порфиры ( $\gamma\delta\mu N_1$ ), в отличие от гранодиоритов, наблюдались только в дайках. Структура их порфировидная. Вкрашенники представлены плагиоклазом, кварцем или роговой обманкой. Основная масса гранодиорит-порфиров микрограммитовая, микрофельзитовая и пойкилитовая.

Гранодиориты и гранодиорит-порфиры состоят из — 30–50% плагиоклаза (во вкрашенниках № 45, в основной массе № 30–35), 15–25% кварца, 15–20%, калиевого полевого шпата, 5–10% биотита, 8–15% роговой обманки.

и моноклинного пироксена. Аксессорные минералы: апатит, циркон, сфен и гранат; вторичные: альбит, серцицит, хлорит и карбонат.

С миоценовым комплексом малых интрузий связан обширный ореол роговиков и постмагматически измененных пород. Роговики образуют вокруг штоков зоны шириной от 200 до 1000 м и вместе со слабо измененными породами в бассейне р. Яёльвайм занимают площадь около 30 км<sup>2</sup>. Это обстоятельство позволяет предполагать, что в современном эрозионном срезе здесь вскрыты только самые верхние части крупных интрузий, залегающих, очевидно, на небольшой глубине. В северо-западной части района, в бассейне р. Кай-Ачи, ороговиковые породы обнажаются на вершины горы Восточной.

Роговики представлены серцицитовыми, хлорит-серцицитовыми и кварц-хлорит-серцицитовыми породами с раковистым изломом, светло-серого цвета, приобретающих на выветрелой поверхности буро-оранжевую окраску за счет окислов железа. Структура роговиков бластопелитовая и микролепидогранобластовая. Текстура — сланцевая или пятнистая, обусловленная неравномерным распределением новообразований слюдистых или рудных минералов.

Постмагматические процессы выражались в кварц-турмалиновой, кварцевой и рудной минерализации, наложенной как на интрузивные, так и вмещающие их осадочные породы. Окварцованные и турмалинизованные породы обладают гемеропорфробластовой структурой с гранонематобластовой структурой основной массы. Они состоят из турмалина (25–65%), кварца (15–55%), карбоната (5–40%) и серциита (3–5%). Кроме того, присутствуют единичные зерна сфена, пирита, арсенопирита, пирротина и реликты первичных пород. Порфиробласти, составляющие 5–10% от объема породы, образованы радиально-лучистыми агрегатами игольчатых кристаллов турмалина (турмалиновые солнца). Кварц и турмалин, иногда с небольшим количеством хлорита и рудных минералов, выполняют в роговиках и интрузивных породах многочисленные тонкие прожилки и гнезда.

Кварцевая минерализация выражалась в образовании многочисленных прожилков молочного кварца мощностью 0,1–3,0 см, установленных вокруг Яёльваймских интрузий и на горе Восточной. В верховьях р. Чингиженвайм среди лимонитизированных делювиально-элювиальных развалов роговиков найдено большое количество кристаллов горного хрусталя.

Рудная минерализация представлена проявлениями полиметаллического, редкometального серноколчеданного типа. Возможно также, что с постмагматическими процессами связано и медно-серебряное проявление, установленное в верховье р. Ачайвайм (руч. Медный).

Диориты и гранодиориты Яёльваймского комплекса прорывают верхнемеловые отложения аяонской толщи и тавенской свиты, вследствие чего нижний возрастной предел не может быть опущен ниже сенона. Верхняя возрастная граница для них не установлена. На сопредельной территории с водотоком в бассейне р. Ачайвайм близкий по петрохимическим особенностям комплекс малых интрузий (А. В. Дитмар, А. Н. Успенский и К. С. Агееев, 1960–1963 гг.), прорывает отложения ватынской серии (сантон-кампан) и, возможно, ачайваймской свиты (маастрихт — дат?). К западу от рассматриваемого района в Пылгинских горах подобные интрузии прорывают верхнекарбонатные — нижнекарбонатные отложения и с угловым несогласием перекрываются эфузивами корфовской свиты (Б. Х. Егизаров, Л. И. Анисеева, 1962 г.). Принимая во внимание сходство петрохимических и геологических особенностей диоритов и гранодиоритов Яёльваймского комплекса, Пылгинских гор и бассейна р. Ачайвайм, мы считаем эти интрузивные образования одновозрастными. Формирование этих интрузий произошло, вероятно, в миоцене.

### ПЛИОЦЕНОВЫЙ КОМПЛЕКС

Субвулканические тела плиоценового времени пользуются значительным распространением среди пляэфузивно-пиросланцевых пород корфовской свиты. Они образуют группы лакколитов и экструзивных куполов, приуро-

ченных преимущественно к предполагаемым центрам вулканических пост-роек. Субвулканические тела обособляются в три группы: Нанкиннатвайямскую, Майвайямскую и Аутансскую. Кроме того, они слагают одиночные экструзивные купола: Эльвургинвайямский, Эляйвайямский и Навкервайямский — назанные так по наименованиям рек, в бассейнах которых они расположены.

Нанкиннатвайямская группа состоит из Маневвайямского лакколита и четырех мелких экструзивных куполов, расположенных вокруг него.

Маневвайямский лакколит находится в верховьях р. Маневвайям. Площадь его около 8 км<sup>2</sup>. Массив имеет в плане неправильную форму с извилившимися контурами. Местами на его поверхности встречаются остатки кровли. В бассейне породы, представленные ороговиковыми андезитами и туфами основных эфузивов корфовской свиты, от лакколита отвечаются дайки и согласные, горизонтально залегающие пластовые тела мощностью от 5 до 10 м. От них отходят мелкие апофизы, круто секущие вмещающие отложения.

Маневвайямский лакколит в основном слагают диориты и, в меньшей мере, кварцевые диориты и гранодиорит-порфиры.

Диориты ( $\delta N_2$ ) слагают центральную часть массива, а также его апофизы. Это серые срединно-крупнокристаллические гипидноморфозернистые породы с участками призматической и пегматоидной структуры. Состав они из андезина № 40—50 (60—80%), моноклинного и ромбического пироксена (10—25%), кварца (0—5%), рудного минерала (2—5%) и единичных зерен апатита. Вторичные минералы: серцит, альбит, эпидот, ураллит, хлорит, кварц и карбонат.

Кварцевые диориты имеют светло-серую окраску. Структура их порфировой основной массой. Кварцевые диориты сложены теми же минералами, что количество которого в кварцевых диоритах варьирует от 10 до 20%. Вкрапленники (5—15%) представлены лабрадором (№ 53).

Гранодиорит-порфиры имеют порфировидную структуру с гипидноморфозернистой, участками микропойкилитовой, микродиоритовой или пегматоидной структурой основной массы. Породу слагают: андезин № 40 (40—60%), кварц (15—20%), калиевый полевой шпат (15—20%), пироксен (0—5%), биотит (2—7%), единичные зерна рудного минерала и апатита. Вокруг Маневвайямского лакколита наблюдаются контактово-метаморфические и постмагматические измененные породы, слагающие полосу шириной 0,1—2,0 км. Окраска их белесая, обусловленная интенсивным окварцеванием. В непосредственной близости от лакколита базальты и андезиты покрыты бурыми налетами гидроокислов железа. По данным Е. Е. Белкова и Г. Н. Осиповой (1959), в ороговиковых андезитах отмечается интенсивная серицитизация плагиоклаза.

Как во вмещающих породах, так и в самом массиве присутствуют вертикальные зоны турмалино-кварцевых пород белого, светло-серого цвета, на выветрелой поверхности превращающихся в ярко-желтый суглинок. Мощность таких зон 2—8 м. Структура пород лепидонематогранобластовая и нематогранобластовая. Следят их кварц (45—60%), турмалин (15—25%), сепицит (20—25%), единичные кристаллы апатита и рудные минералы (арсенопирит) с небольшим количеством (менее 5%) карбоната и лимонита. Широко распространены здесь пиритизация, цеолитизация и эпидотизация.

Экструзивные куполы Нанкиннатвайямской группы представлены телами размером от 1,5 до 6 км<sup>2</sup>. На поверхности экструзий наблюдаются брекчииевые лавы и кластоловы, перекрытые горизонтами древнего делювия, и вулканомиктовых образований, состоящих из остроугольных обломков лав, слагающих купол и сцепленных гидроокислами железа и марганца. Пространственно к куполам Нанкиннатвайямской группы приурочены туфы и лавы диоритов и риолитов нижних горизонтов Нанкиннатвайямской свиты. Экструзии сложены риолитоидными дацитами, окрашенными в светло-серые, черные, зеленоватые, розовые, белесые, бордовые и сиреневые цвета. Это стекловатые породы со смоляным блеском и раковистым изломом. Структура их витрофи-

ровая, витропорфировая, криптокристаллическая, текстура флюидальная и перлитовая. Риолитоидные дациты образованы кислым вулканическим стеклом ( $N=1,504 \pm 0,002$ ) с погруженными в него микролитами и кристаллитами плагиоклаза, биотита, апатита и, вероятно, ромбического пироксена. Вкрапленники риолитоидных дацитов, составляющие иногда около 15%, представлены плагиоклазом-андезитом № 30—43 (10%) и биотитом (5%). Аналогичный состав и строение имеет Навкервайямская экструзия.

Майвайямская группа состоит из четырех массивов: Центрального, Западного, Северного и Восточного, расположенных в осевой части Апукского хребта в районе истоков р. Майвайям. Все они обнажаются среди лаво-пирокластических образований корфовской свиты, а массив Северный, кроме того, несогласно перекрывается лавами апукской свиты. С поверхности и у контактов массивы закрыты мощными современными осыпями. Большинство массивов представляют собой приповерхностные образования — лакколиты, а массив Северный, очевидно, представляет собой экструзию. В кровле этого массива на его трещиноватой и разрушенной поверхности залегают грубослоистые брекчевые лавы и древний делювий, смешанный с туфами. Эти образования на отдельных участках сцеплены гидроокислами марганца и железа.

Брекчи и древний делювий — это обломочные породы, возникшие на поверхности экструзии при ее формировании и обрушившиеся по склонам массива при образовании осыпей. В дальнейшем (после захоронения их туфами) эти брекчи были сцеплены рудными минералами, выпавшими из поствулканических растворов. Все массивы Майвайямской группы, кроме Центрального, имеют в плане неправильную, близкую к изометрической, форму. Они обнажаются в виде обособленных конических сопок с относительным превышением вершин в 300—500 м. В краевых частях массивов в породах наблюдается плоскотатая отдельность. В плане форма массива Центрального — вытянутая. Северо-западная часть его значительно расширена. Общая площадь массива и в его южной части. К центральной части массива приурочены диориты, взаимоотношения которых с дацитами не установлены.

Дациты ( $\delta N_2$ ) — сахаровидные или светло-серые криптокристаллические породы, на выветрелой поверхности которых появляются ржаво-бурые налеты гидроокислов железа. Структура дацитов афировая, витропорфировая, микропойкилитовая и микрофельзитовая. Текстура массивная. В дацитах из краевых частей массивов появляются флюктуационные текстуры. Порода имеет пятнистую криптокристаллическую основную массу с участками девитрифицированного вулканического стекла и микропойкилитовыми образованиями, состоящими из кварца и кислого плагиоклаза. Вкрапленники представлены андезитом № 40 (10—15%), чешуйками биотита и игольчатыми кристаллами роговой обманки (5%). Аксессорные минералы — магнетит, циркон и апатит.

Диориты ( $\delta N_2$ ) — плотные, полнокристаллические равномерно-зернистые или порфировидные породы серого и зеленовато-серого цвета. Основная масса диоритов призматически-зернистая. Диориты состоят из андезина № 42—47 (30—50%), моноклинного и ромбического пироксена (10—15%), бальтической роговой обманки и биотита (5—10%). Вкрапленники в диоритах образованы плагиоклазом (25—35%), моноклинным пироксеном и роговой обманкой (10%). Аксессорные минералы: апатит и магнетит.

Массивы Западный, Восточный и Северный расположены вокруг Центрального, с которым они, возможно, соединяются на глубине. Площадь, занимаемая каждым массивом в отдельности, составляет 5—8 км<sup>2</sup>. Сложены они однообразными массивами или полосчатыми дацитами, сходными по составу и структуре с дацитами, образующими периферические части массива Центрального. Дациты массива Восточного содержат единичные оплавленные включения кварца.

Аутанская группа субвулканических тел находится на междуречье Аутанвайям и Майвайям, у южной границы района и за его пределами. На рассматриваемой территории размещаются массивы Слюдянской и Двойной.

Массив Слюдяной имеет куполовидную форму. Площадь его — около  $10^3$  км $^2$ . Вмещают массив дислоцированные базальты ачайвамской свиты. Перекрывают его тонкополосчатые туфолавы дацитов верхних горизонтов начиная с ачайвамской свиты.

Массив Слюдяной образуют крупнопорфировые андезиты, а периферийные части — тонкокристаллические дациты. В центре массива (среди осыпей андезитов) обнаруживаются породы, близкие по составу к кварцевым диоритам. К северо-западу от массива Слюдяного располагается группа субпараллельных крутоопадающих даек, сложенных также крупнопорфировыми андезитами, сходными с породами, образующими массив, и, вероятно, представляющими его апофизы. Мощность даек андезитов достигает 200 м.

Андезиты ( $\alpha N_2$ ) — крупнопорфировые (с размером вкрапленников до 5 см) породы с призматически-зернистой структурой основной массы. Состав их следующий: плагиоклаз-олигоклаз № 28 (45—70%), пироксен, роговая обманка и биотит (10—20%), кварц (0—5%). Аксессорные минералы — магнетит и пирит. Вкрапленники (в количестве 20—30% от объема породы) образованы андезином № 38—40 (10—20%), биотитом (3—5%), роговой обманкой, моноклинным и ромбическим пироксенами (5—10%), а также единичными оплавленными включениями кварца.

Дациты ( $\zeta N_2$ ) массива Слюдяного практически не отличимы по структуре и составу от дацитов, слагающих массивы Нанкинчатаивамской группы.

Кварцевые диориты ( $\delta N_2$ ) — крупнокристаллические породы светло-серого цвета, гипидноморфозернистой структуры. Породообразующие минералы представлены андезином № 42 (65%), кварцем (20%), биотитом (10%) и рудным минералом (5%). Вторичные минералы — серицит и роговая обманка.

Массив Двойной (площадь около 4 км $^2$ ) слагает две конические сопки, высотой 250 и 360 м, разделенных почти до основания седловиной. У подножия сопок обнаруживаются отложения пахачинской свиты; перекрывают его туфы корфовской свиты. Массив Двойной сложен мелкокристаллическими дацитами.

Эльвургинваемская и Эляйваемская экструзии образуют конусообразные возвышенностии, закрытые с поверхности мощным чехлом современных делюдо  $8 \text{ км}^2$ . Прорывает она отложения пахачинской свиты; перекрывают ее туфы и лавы корфовской свиты. Эляйваемская экструзия занимает площадь около 1 км $^2$ . Залегает она, вероятно, на отложениях ватынской серни, а перекрывают ее несогласно — покровы апукской свиты.

Липариты ( $\lambda N_2$ ) образуют Эльвургинваемскую и Эляйваемскую экструзии. Это плотные афировые или олигопириевые породы с микропойкилистовыми и микроаллотротоморфозернистой структурой основной массы. Вещественный состав липаритов: андезин № 34—35 (40—55%), кварц (35—40%), биотит (0—5%). Аксессорные минералы: циркон и апатит. Во вкрапленниках присутствуют кварц (5—7%), андезин № 35 (3—5%) и биотит (1—2%).

Время формирования субвулканических тел и сопряженных с ними даек следует рассматривать в тесной связи с эпохой активной эфузивно-эксплоритной и экструзивные купола залегают среди лав и туфов корфовской свиты, а перекрывают их с несогласием лавы апукской свиты, отнесеной к нижнечетвертичному времени. Таким образом, возраст субвулканических образований определяется как плиоценовый.

Верхнемиоценовый — плиоценовый и нижнечетвертичный комплексы эфузивов представлены потоками и покровами разнообразных излившихся по-непрерывный ряд базальты — риолиты.

Базальты — афанитовые или мелкокристаллические разновидности пород (серого, темно-серого цвета, на выветрелой поверхности) — малинового, бежевого и зеленоватого оттенка. Отдельность базальтов преимущественно глыбовая. Структура базальтов порфировая, олигопириевая, гемеропириевая, афировая с микродолеритовой, интерсерпентальной и пило-

такситовой структурами основной массы. Текстура базальтов пористая, массивная, реже шлаковидная и мидалекаменная. Вкрапленники и гемеропириевые включения в базальтах образованы лабрадором и лабрадор-битовитом № 60—73 (10—20%), моноклинным и ромбическим пироксенами (10—15%) и оливином (5—10%). Основная масса базальтов состоит из лейст лабрадора № 50—54 (30—45%) и зернышек пироксена (10—20%), погруженных в бурое основное вулканическое стекло или агрегат из ксеноморфных табличек плагиоклаза. Аксессорные минералы — магнетит, пирит и апатит. Наблюдаются отчетливая концентрация иголочек апатита в вулканическом стекле, выполняющем угловатые промежутки между табличками плагиоклаза.

Андезит-базальты по внешнему облику почти не отличимы от базальтов. Это пористые или массивные афантитовые породы серого, темно-серого цвета с малиновыми, зеленоватыми и белесыми оттенками. Выветрелые разновидности андезит-базальтов имеют светло-серую, малиновую или рыжеватую окраску. Отдельность их глыбовая или столбчатая. Структура порфировая, порфировидная, гемеропириевая, афировая и олигопириевая с неравномерно-зернистой и призматически-зернистой, участками интерсерпентальной, гиалопилитовой, пилотакситовой и гиалиновой структурами основной массы. Вкрапленники и гемеропириевые сростки андезито-базальтов представлены лабрадор-битовитом № 65—70 (10—20%), ромбическим и моноклинным пироксеном (10—15%) и оливином (0—5%). Основную массу андезито-базальтов образуют лейсты лабрадора № 50—56 (30—50%), зерна ромбического и моноклинного пироксена или одного из них (10—20%), погруженных в бурое, местами прозрачное вулканическое стекло с показателями преломления ниже показателя преломления пихтового бальзама. Аксессорные минералы: магнетит и апатит.

Андезиты составляют наибольшую группу эфузивных пород. Цвет андезитов серый, светло-серый и розоватый. Для них характерна плитчатая отдельность. Они обладают порфировой или афировой структурой, основной массы. Во вкрапленниках андезитов наблюдаются лабрадор № 60—65 (20—40%), моноклинный и ромбический пироксины — или один из них (5—10%), амфибол (0—5%), единичные чешуйки биотита и зерна кварца. Основную массу андезитов составляют лейсты андезина-лабрадора № 48—52 (10—30%) и изометрические или призматические зерна моноклинного пироксена (10—15%), погруженные в вулканическое стекло с показателем преломления ниже показателя преломления пихтового бальзама. Вулканическое стекло андезитов буроватое или прозрачное. Наблюдаются в нем кристаллы, освещенные пятнышки и широкие, с неправильными расплывчатыми контурами таблички плагиоклазов. К таким стекловатым участкам андезитов обычно приурочены скопления многочисленных иголок апатита. Всегда в андезитах присутствует некоторое количество пылевидных включений или неправильных мелких зерен рудного минерала. Среди андезитов (по составу вкрапленников) различаются: авгит-гиперстеновые (двукиропексиновые), гиперстеновые и роговообманковые разновидности.

Андезитоидные дациты обычно окрашены в светло-серые или розоватые тона. Это преимущественно плитчатые породы с порфировыми вкрапленниками, из которых около 10% составляют роговую обманку и 10—15% — ромбический или моноклинный пироксен с единичными чешуйками биотита. Основная масса андезитоидных дацитов имеет гиалопилитовую, микропириевитовую или гиалиновую, кристаллитовую структуры. Текстура андезитовых дацитов массивная или флюидальная. Слагают основную массу этих пород микролиты плагиоклазов и небольшое количество кристаллитов темноцветных минералов, склеенных прозрачным изотропным или пятнистым, слабо двупреломляющим вулканическим стеклом. Вулканическое стекло кислое, с показателем преломления много ниже показателя преломления пихтового бальзама. На отдельных участках стекло имеет микрофельзитовую структуру и бывает загрязнено рудной пылью.

Риолиты среди эфузивов апукской серии пользуются незначительным распространением. Это красные, серые и зеленые породы витрофирировой структуры и флюидальной или перлитовой текстуры. Образованы риолиты кислым вулканическим стеклом (с 72—75% кремнекислоты) с погруженными в него редкими гемеропорфировыми сростками олигоклаза в количестве 5—10%.

#### ЧЕТВЕРТИЧНЫЕ ДАЙКИ БАЗАЛЬТОВ И АНДЕЗИТОВ ( $\beta Q$ )

Дайки четвертичного возраста размещаются в верхнемеловых, палеогеновых толщах, а также среди лаво-пирокластических пород верхнего миоцена — плиоцене и в нижнечетвертичных лавах апукской свиты.

Большая часть этих даек составляет веерообразные рон вертикальных или кругонаклонных тел, расположенных вокруг предполагаемых центров изнаны к покровам, слагающим апукскую свиту. Мощности даек колеблются от 5 до 20 м. Наиболее крупные из них по простираннию прослежены на членении р. Аутанвайям. Одиночные дайки (как например, дайка, расположенная в среднем течении р. Аутанвайям) представляют собой пологонаклонные тела мощностью до 200 м.

Четвертичный дайковый комплекс представлен главным образом базальтами, а также андезитами. При этом в одних и тех же дайках наблюдались базальты и андезиты, вследствие чего на геологической карте для них принят индекс  $\beta Q_1$ . Изверженные породы этого комплекса по структуре и петрографическим особенностям практически не отличаются от базальтов и андезитов, залегающих в форме покровов и потоков корфовской и апукской свит. В общем случае дайковые породы более интенсивно подвергаются процессам вто-ричных изменений, выраженных в карбонатизации, хлоритизации, пелитизации и цеолитизации. В некоторых дайках отмечается повышенное (до 10%) содержание пирита и лейкоксена. Вмещающие породы на контакте с дайками обычно осветлены.

Основные этапы формирования изверженных пород плиоцен-четвертичного возраста, образующих субвуликанические тела, разнообразные по составу покровы и потоки эфузивов, а также многочисленные дайки, сводятся к следующему.

Ранние этапы, относимые к плиоцену: излияние лав, кластолов и, возможно, игнимбритов риолитов и дацитов; редко излияния лав андезитов и виа; формирование экструзий дацитов и риолитов. Средние этапы: выбросы туфов разнообразного состава; незначительные излияния лав базальтов, андезит-базальтов, андезитов и дацитов. Завершаются средние этапы формирования экструзий (возможно, частично приповерхностных лакколитов) дацитов и андезитов, а также интрузий диоритов и гранодиоритов, рассматриваемых как субвуликанические образования (В. Н. Котляр, 1960 г.). И, наконец, конечные этапы, относимые уже к раннечетвертичному времени, характеризуются массивными излияниями лав базальтов, андезит-базальтов и андезитов. Происходит внедрение даек аналогичного состава.

Химические составы изверженных пород плиоцен — раннечетвертичного времени показывают (см. таблицу) непрерывный ряд горных пород, отвечающих очевидно, дифференциатам одной исходной магмы нормального известково-щелочного типа с несколько повышенным содержанием полевошпатовой известки и щелочей, при преобладании натрия над калием (Г. А. Закржевский, 1962 г.). Такое отклонение от нормы, в частности в составах андезитов, наиболее распространенных пород плиоцен-раннечетвертичного времени по А. Н. Заваринскому (1960), вообще типично для всего Дальнего Востока и восточно-азиатских провинций в целом.

При сопоставлении петрохимических особенностей плиоценового комплекса субвуликанических тел, сложенных диоритами и гранодиоритами с такими же породами малых интрузий яльвайямского комплекса (см. таблицу),

отнесенных к миоцену, наблюдается их отчетливое сходство. Постмагматические проявления, завершающие, очевидно, формирование этих двух комплексов, одинаковы. Это, прежде всего, широко развитая кварц-турмалиновая минерализация и редкометальное оруденение, приуроченные либо к самим малым интрузивным массивам и субвуликаническим телам, либо к их экзоконтактным зонам. Различает эти два комплекса, в первую очередь, то, что яльвайямские интрузии являются оловянносымыми, тогда как субинтрузивные тела, отнесенные к плиоценовому комплексу, признаков олова несут.

#### ТЕКТОНИКА

Рассматриваемая территория относится к южной части Корякской складчатой системы и располагается в зоне сочленения Олоторского прогиба и обрамляющего его складчатого сооружения.

К складчатому обрамлению прогиба относятся структуры северной части Яльвайямская антиклиналь и Майн-Ачиканджауваямская синклиналь. К югу от последней интенсивно дислоцированные верхнемеловые отложения полого погружаются под верхнемиоцен-плиоценовые и нижнечетвертичные вулканотектонические структуры (рис. 1).

Яльвайямская синклиналь на рассматриваемой территории представлена центральной частью и южным крылом. Ширина ее 15—20 км. Простирание восточно-северо-восточное. В западной части Яльвайямской синклинали, в ее ядре породы аянкинской свиты собраны в мелкие S-образные складки. Ширина складок от 1 до 3 км, протяженность 3—10 км. Обычно они опрокинутые и асимметричные, с углами падения от 30 до 90°. Крылья Яльвайямской синклинали здесь слагают отложения тавенской свиты, собранные в спокойные линейные складки шириной 2—3 км и с углами падения пластов на их крыльях 45—65, реже 80°. Ядро и крылья восточной части Яльвайямской синклинали образуют только отложения тавенской свиты. Они смыты в мелкие складки, кулисообразно расположенные по отношению к простиранию главного шарнира синклинали. Все они характеризуются воздыманием шарниров в юго-западных направлениях. Наибольший угол отклонения от основного направления складчатой системы образуют складки западной части синклинали. В районе горы Маекли простирание их шарниров С. В. 50°. Углы падения на их крыльях 70—90°, в центральной части около 30°. В восточной части синклинали (в верховьях р. Чингикенвяя) складки приобретают более линейный характер и их шарниры располагаются параллельному шарниру Яльвайямской антиклинали. Преобладают здесь вертикальные углы падения. В районе пересечения Яльвайямской синклинали р. Апуквайям наблюдается антиклинальный перегиб, выраженный изоклинальными складками отложений аянской толщи меридионального простирания. Широким развитием в пределах Яльвайямской синклинали пользуются будинаж-структуры и круговые выбросы, приуроченные преимущественно к антиклинальным перегибам мелких складок. Простирание плоскостей сместителей СВ 50°.

Яльвайямская антиклиналь имеет ширину 15—20 км, простирание восточно-северо-восточное. Центральная часть Яльвайямской антиклинали сложена глинистыми сланцами и песчаниками яонской толщи, собранными в серии узких линейных складок, шириной от 1,5 до 4 км с падением пластов на их крыльях 60—90°. Крылья этих структур осложнены складками высшего порядка изоклинального типа, запрокинутыми к северу. Ширина таких складок от нескольких до первых десятков метров. По простиранию они не выдержаны, и их шарниры испытывают частые ундуляции. Крылья Яльвайямской антиклинали образованы отложениями тавенской свиты. К ядру этой структуры приурочены малые интрузии и дайки миоценового возраста.

К югу от Яльвайямской антиклинали наблюдается несколько антиклинальных и синклинальных складок, сложенных отложениями тавенской свиты и ватынской серии. Ширина этих складок 2—4 км. Наиболее отчетливо из них выражена Майн-Ачиканджауваямская синклиналь с углами падения на крыльях 40—90°. Ядро этой синклинали образует отложения ватынской серии, интен-

Таблица

## Химические составы неоген-раннечертвичных изверженных пород

Оксиды	Миоценовые малые интрузии и дайки		Комплексы изверженных пород						Глиоценовые и раннечертвичные потоки, потоки и даеки								
SiO <sub>2</sub>	68,11	65,16	61,17	72,54	68,05	65,91	63,09	62,5	62,41	46,81	70,75	60,61	57,08	56,58	54,15	51,10	48,6
TiO <sub>2</sub>	0,35	0,70	0,81	0,23	0,36	0,48	0,68	—	0,58	1,22	0,20	1,04	0,98	1,05	1,36	0,98	1,57
Al <sub>2</sub> O <sub>3</sub>	15,44	15,41	16,61	15,02	14,03	15,93	16,72	16,08	16,86	17,59	13,91	16,07	17,60	16,53	16,40	13,98	15,1
Fe <sub>2</sub> O <sub>3</sub>	1,78	2,69	2,82	0,63	3,33	2,71	3,01	3,25	4,50	0,55	0,77	1,76	2,33	0,48	6,59	4,19	9,5
FeO	2,10	1,81	2,88	1,30	0,18	0,73	1,85	1,82	0,47	7,72	2,25	4,31	4,40	5,75	1,47	4,38	1,15
MgO	0,99	2,58	3,07	0,65	1,42	2,25	3,09	3,00	2,49	11,13	0,76	2,50	4,74	6,15	5,23	8,03	5,93
CaO	2,31	4,42	4,90	1,82	4,11	5,53	5,45	4,00	5,52	8,85	1,82	5,53	7,47	7,19	9,81	10,51	10,00
MnO	0,05	0,09	0,08	0,93	0,06	0,08	—	0,03	0,14	0,08	0,09	0,10	0,10	0,10	0,07	0,45	—
K <sub>2</sub> O	2,93	2,50	2,16	3,02	2,30	1,80	1,89	3,36	1,95	1,46	3,04	1,25	1,13	1,38	1,29	3,18	0,73
Na <sub>2</sub> O	4,03	3,58	3,58	4,59	3,52	4,12	4,09	3,46	4,44	3,38	4,25	4,04	3,67	3,29	4,02	2,15	4,29
P <sub>2</sub> O <sub>5</sub>	0,14	0,16	0,30	0,12	0,23	0,16	0,21	—	0,16	0,46	0,23	0,46	0,18	0,40	0,18	0,46	—
П.п.п.	2,17	1,34	1,64	0,57	2,16	0,63	—	1,57	0,54	1,17	1,23	2,48	0,62	0,87	0,44	1,53	2,83
Сумма	100,40	100,42	100,03	100,52	99,71	100,31	100,16	100,04	99,95	100,48	100,29	100,14	100,30	99,77	100,51	100,04	99,70
H <sub>2</sub> O+	0,56	0,28	0,50	0,77	1,29	0,86	1,52	—	0,63	0,61	0,50	1,25	0,37	0,98	0,54	1,8	—
a/c	4,6	3,0	2,0	6,5	2,8	2,4	2,2	3,0	2,4	1,7	6,2	2,3	1,5	2,0	2,4	2,0	2,0

## Числовые характеристики по А. Н. Заварницкому

a	10,9	12,2	11,4	14,2	11,0	11,6	11,7	12,5	12,5	9,2	13,6	11,1	9,4	10,7	9,2	10,6
c	2,8	4,0	5,7	2,2	3,9	4,8	5,3	4,7	5,2	5,1	2,2	4,8	6,4	5,5	3,9	5,1
b	7,0	9,3	11,0	4,0	6,6	8,7	11,0	10,1	10,2	31,9	4,7	11,5	18,8	21,5	29,6	27,3
s	79,3	74,5	71,9	79,6	78,5	74,9	72,0	72,7	72,1	53,8	79,5	72,6	65,4	62,3	57,2	57,0
a'	—	—	—	30,0	—	—	—	—	—	—	9,0	—	—	—	—	—
f	49,0	43,0	48,0	43,4	46,8	35,4	40,1	46,6	42,0	30,9	64,2	50,6	31,8	32,8	27,0	34,7
m'	24,0	47,0	49,0	26,6	36,5	43,3	47,5	51,4	42,0	51,8	26,8	37,8	55,8	40,7	44,5	38,0
c'	—	10,0	3,0	—	16,7	21,3	12,0	2,0	16,0	17,3	—	11,6	12,4	26,5	28,5	27,3
n'	68,0	68,0	72,0	70,0	77,6	76,7	61,0	78,0	72,5	68,3	82,1	78,0	82,3	50,0	90,8	90,8
φ	21,0	25,0	22,0	13,4	63,8	26,8	23,4	19,2	38,0	8,8	14,9	13,4	2,2	25,9	21,0	30,4
t	0,3	0,8	0,9	0,3	0,3	0,5	0,8	—	0,7	2,8	0,3	1,3	1,5	2,0	1,5	0,5
Q	+31,9	+19,8	+55,8	+28,6	+31,0	+22,0	+15,0	+15,7	+14,0	+15,9	+23,6	+18,5	+5,9	+2,3	+7,7	+12,3
a/c	4,6	3,0	2,0	6,5	2,0	6,5	2,8	2,4	2,2	3,0	2,4	1,7	6,2	2,3	1,5	2,0

Причинаe. 1 — обр. 1520/1, гранатовый гранодиорит-порфир, р. Яльвайм, аналитик Г. П. Гринберг; 2 — обр. 2148/2, биотит-пироксеновый гранодиорит, р. Нанкичтаям, аналитик Г. П. Гринберг; 3 — обр. 1274, биотит-пироксеновый дiorит, р. Яльвайм, аналитик Г. П. Гринберг; 4 — обр. 229/1, риолит, р. Апуквайм, аналитик А. П. Люттерова; 5 — 631/1, риолит-богомильский дайк, р. Майвайям, аналитик Г. П. Гринберг; 6 — обр. 633/1, биотит-роговообманковый дiorит, р. Майвайям, аналитик Г. П. Гринберг; 7 — обр. 217/1 — биотит-пироксеновый дiorит, р. Майвайям, аналитик Г. П. Гринберг; 8 — обр. 213/1, гранодиорит-порфир, р. Маневзиям, аналитик Г. С. Данилова; 9 — обр. 1158 биотит-роговиковообманковый андезит, р. Апуквайм, аналитик Г. П. Гринберг; 10 — обр. 1150 — оливиновый базальт, р. Майвайям, аналитик Л. Г. Финашита; 11 — обр. 250/4, риолитовый дайк, р. Апуквайм, аналитик А. П. Люттерова; 12 — обр. 312/2 авигит-гиперстеновый андезит, р. Апуквайм, аналитик Г. П. Гринберг; 13 — обр. 98/1, авигит-гиперстеновый андезит-базальт, р. Ачайнаям, аналитик А. П. Люттерова; 14 — обр. 659—2, оливиновый андезит-базальт, аналитик Г. П. Гринберг; 15 — обр. 191, оливиновый базальт, р. Апуквайм, аналитик Г. С. Данилова; 16 — обр. 59/1 биотитовый базальт, р. Апуквайм, аналитик А. П. Люттерова.

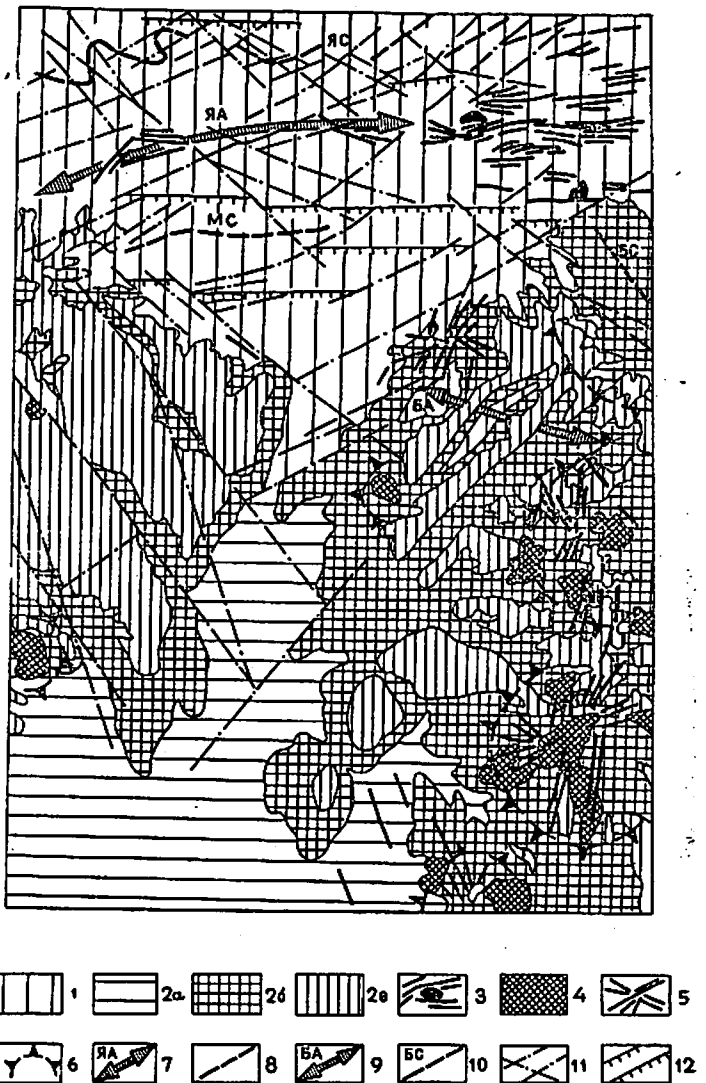


Рис. 1. Тектоническая схема бассейна верхнего течения р. Апуквайам, м-ба 1 : 500 000

1 — первый структурный этаж ( $S_2$ — $N_1$ ); 2 — второй структурный этаж ( $N_1^2$ — $Q_1$ ): а — нижний структурный ярус ( $N_1^{2+3}$ ), б — средний структурный ярус ( $N_2$ ), в — верхний структурный ярус ( $Q_1$ ); 3 — миоценовый комплекс малых интрузий и даек; 5 — плиоценовые субвулканические тела; 6 — предполагаемые центры извержений; 7 — ось Ялвайамской (ЯА) антиклинали; 8 — оси синклиналей (ЯС — Яквайамской и МС — Майн-Ачиканджуаям); 9 — ось брахантиклинали (БА); 10 — ось брахисинклинали (БС); 11 — диагональные сбросо-сдвиги; 12 — взбросы и надвиги

тивно смяты, запрокинутые к северу, плойчатые и дисгармоничные складки Ширика их от нескольких до первых сотен метров. Контакт между тавенской свитой и ватынскими сериями имеет преимущественно тектонический характер. Вдоль контакта вулканогенно-кремнистые отложения ватынской серии значительно катализированы и разбиты на блоки с многочисленными зеркалами скольжения. Массивные песчаники тавенской свиты у контакта образуют запрокинутые к северу, подчас лежачие складки.

Складчатые структуры северной части района осложнены многочисленными разрывными нарушениями типа сбросо-сдвигов и круtyх надвигов. Сбросо-сдвиги располагаются по двум взаимно пересекающимся направлениям, диагональным по отношению к шарниру Ялвайамской антиклинали. Господствующие простирации их СВ 50°—75° и СЗ 300°—320°. Нередко сбросо-сдвиги наблюдаются в комбинации с крутыми взбросами. Горизонтальная амплитуда смещения по сбросо-сдвигам и взбросам достигает 1 км. Простижение надвигов широтное. Плоскости их круто (под углами 80°—90°) наклонены к югу. По времени формирования, они очевидно, одновозрастны с диагональными сбросо-сдвигами.

В строении фундамента Олюторского прогиба, кроме интенсивно напряженных структур, участвуют и пологие, по-видимому, брахиформные складки, образованные отложениями ачайвайамской и ильпинской свит. Углы падения на крыльях таких складок 10°—25°, фрагменты их наблюдались в эрозионных оконах из-под вулканогенных образований корфовской и апукской свит, развитых в районе Апукского хребта.

Взаимоотношения между отложениями ватынской серии и ачайвайамской свиты, а также между ачайвайамской и ильпинской в районе не наблюдались. На сопредельных территориях выявлено, что ачайвайамская свита в бассейне р. Ачайвайам, согласно, но с незначительным размытом, залегает на отложениях ватынской серии (Г. А. Закржевский, 1962 г.). Между отложениями ачайвайамской и ильпинской свит — на границе верхнего мела и палеогена — предполагается угловое несогласие, обусловленное проявившейся в это время фазой складчатости (В. А. Титов, 1959 г., Б. Х. Егназаров, 1960 г., В. Т. Матвеенко, 1960 г.).

Олюторский синклиниорий, возникший на месте Олюторского прогиба, по нашему мнению, состоит из брахискладок, сложенных средневерхнемиоценовыми отложениями, а также вулкано-тектонических структур, образованных вулканогенными породами верхнего миоцена-плиоцена, нижнего и среднего отделов четвертичной системы.

Структура средне-верхнемиоценовых отложений довольно простая: в пределах рассматриваемой территории располагается северо-восточная часть пологой и широкой мульды, шарнир которой погружается на юго-запад. Видимая ширина складки 10—15 км. Протяженность около 25 км. На крыльях этой структуры углы падения пластов 15°—20°, как исключение 40°. В верховьях р. Аутанвайам, на значительных пространствах средне-верхнемиоценовые отложения залегают горизонтально. Контакт средне-верхнемиоценовых и верхнеолигоцен-нижнемиоценовых отложений в районе не обнажен. Предполагается, что средне-верхнемиоценовые отложения в пределах восточной части Олюторского прогиба залегают трансгрессивно (Г. А. Закржевский, 1962 г., Б. Х. Егназаров, 1962 г.).

Вулканогенные образования корфовской и апукской свит слагают группы сближенных пологих куполовидных структур, представляющих собой щитовидные вулканические постройки, сформированные на мезозойско-раннекайнозойском основании, включающем отложения в объеме от сеномана до верхнего миоцена. Диаметр вулканических построек 30—40 км. Углы наклона покровов и потоков лав на их склонах 2°—7°. Возникли такие структуры благодаря накоплению вокруг вулканических аппаратов, продуктов извержений, сопровождавшихся некоторым воздыманием фундамента в пределах их центральных частей. В Апукском хребте предполагаемые центры вулканических структур располагаются: в районе горы Аутан, в истоках рр. Майвайам и Нанкичнатвайам, на водораздельном пространстве между истоками рр. Ялвайам Левая и Ачайвайам.

Строение вулканических построек двухъярусное. Основание их образуют пологие дислоцированные туфы, туфоконгломераты и различные лавы, накопившиеся вследствие вулканической деятельности преимущественно центрального типа (корфовская свита). Эти вулканогенные образования перемежаются с подчиненным количеством озерно-аллювиальных, делювиально-пролювиальных и элювиальных образований (Г. А. Закржевский, 1957, 1962 гг.), свидетельствующих о периодах затишья вулканической деятельности, в которые происходил частичный размыт вулканогенного материала. Складки в этих отложениях имеют брахиформный характер. Брахисинклиналь, наблюдавшаяся в районе водораздела между рр. Яёльваем Левая и Ачайваем, сложена туфами и лавами цинкнитавалымской свиты. Углы падения на ее крыльях 15—35°. Простирание шарнира СЗ 320°. Ширина ее 7 км, видимая протяженность 12 км. Брахисинклинальную складку, вероятно, слагают туфы и лавы корфовской и апукской свит в районе между истоками р. Млетваем и правой составляющей р. Нанкнитавалым. Простирание шарнира этой складки субширотное. Углы падения на крыльях 2—5°. Ширина ее 12 км, длина — 15 км. В современном эрозионном срезе, в ядре этой структуры, из-под эфузивов корфовской свиты обнажаются интенсивно дислоцированные отложения ватынской серии. Формирование таких структур, очевидно, связано с активными проявлениями блоковых подвижек фундамента в преднижечетвертичное время.

Верхние части вулканических построек слагают исключительно лавы, об разующие вокруг центров извержений пологий куполовидный чехол. Лавы, слагающие апукскую свиту, залегают несогласно как на лаво-пирокластических образованиях корфовской свиты, так и на более древних породах складчатого фундамента. Это вызвано тем, что массовым излияниям лав нижне-четвертичного времени предшествовало затишье в вулканической деятельности, активное проявление блоковых подвижек, в которые были вовлечены все более древние образования, в том числе и вулканогенные породы корфовской свиты.

Разрывные нарушения, затрагивающие вулканогенные образования верхнемиоценового — плиоценового и нижне-четвертичного времени, представлены сбросо-сдвигами и сериями радиальных нарушений ограничивающих блоки, на которые разбиты пологозалегающие лавы и туфы корфовской и апукской свит. Амплитуда вертикальных и горизонтальных смещений по ним 150—200 м. Совокупность таких блоков, различных по знаку движения, является одной из характерных черт тектонического строения полей распространения позднекайнозойских эфузивов. Азимуты простириания сбросо-сдвигов, ограничивающих блоки: СВ 40—70° и СЗ 320—340°, иногда СЗ 300—310° (истоки р. Ачайваем). Вторая группа разрывных нарушений — радиальные сколы — в одних случаях фиксируются по веерообразным роям вертикальных и кругонаклонных даек, размещающихся в вулканогенных породах корфовской и апукской свит. В других они могут быть намечены по простирианию радиально расположенных речных долин, сходящихся верховьями в районах центров вулканических построек (например, район истоков р. Майваем). Обе эти разновидности наблюдаемых и предполагаемых радиальных сколов являются типичным примером вулкано-тектонических структур, связанных с активной ролью магмы при вулканических извержениях (В. И. Владавец, 1954). На активную роль магмы в процессе формирования вулканических построек указывает, кроме того, и расположение субвулканических тел, приуроченных к центральным частям вулканических построек.

Время заложения сбросо-сдвигов и радиальных сколов растянуто в интервале, охватывающем плиоцен-средне-четвертичную эпоху. Часть сбросо-сдвигов была сформирована до накопления лав апукской свиты, т. е. они предниже-четвертичные. Большинство из них было омоложено уже после излияния лав нижне-четвертичного времени. Радиальные сколы также разновозрастны. В основном они были заложены после или, частично, одновременно с излияниями лав апукской свиты, т. е. в нижне-средне-четвертичное время. Часть из них, как например, радиальные сколы в верховьях

р. Навкерваем, по которым произошло внедрение даек дацитов, очевидно, имеют плиоценовый возраст.

Системы диагональных сбросо-сдвигов северо-западного и северо-восточного простирий, затрагивающие лаво-пирокластические образования корфовской и апукской свит, развиваются в направлениях, близких или совпадающих с направлениями сбросо-сдвигов, усложняющих складчатые мезо-кайнозойские структуры. В долине р. Апукваем, а также по долине р. Яёльваем Левая, над подобными тектоническими разрывами, скрытыми под современными образованиями оказываются значительно размытыми аллювиальные и водноледниковые отложения. Это обстоятельство является, очевидно, отражением существования единой системы длительно живущих, диагональных по отношению к простирианию складчатых систем, разрывов глубинного заложения, подвижки по которым не прекратились и в настоящее время.

Различные по возрасту, литолого-фацальные особенностям, морфологии пликативных и разрывных нарушений, а также по приуроченности к ним магматических проявлений, тектонические структуры территории объединяются в два структурных этажа.

Первый структурный этаж включает структуры, образованные терригенными (преимущественно флишевыми) и вулканогенно-кремнисто-терригенными отложениями, соответствующими верхнемиоценовому — нижнемиоценовому этапу развития. По различному характеру напряженности складчатых структур первый структурный этаж должен быть подразделен на три структурных яруса. Нижний ярус образуют наиболее древние структуры, в которых участвуют отложения аяонской толщи, тавенской свиты, ватынской серии и аянкинской свиты. Они представляют собой узкие линейные, иногда S-образные или кулисообразно расположенные складки, подчиненные общей тектонической структуре южной части Корякской складчатой системы. Широким развитием среди них пользуются изоклинальные дисгармоничные, подчас опрокинутые, складки. Средний ярус составляют пологие, по-видимому, брахиформные складки, в которые собраны отложения ачайвайской свиты. Наконец, верхний ярус первого структурного этажа образуют также пологие дислоцированные отложения ильгинской свиты. Такое подразделение на ярусы на тектонической схеме не приводится вследствие того, что структуры среднего и верхнего ярусов первого структурного этажа наблюдаются лишь в мелких фрагментах из-под структур верхнего этажа.

Граница между первым и вторым структурными этажами проводится по подошве пахачинской свиты. Предполагается при этом, что формирование нижнего структурного этажа завершилось предсреднемиоценовой фазой складчатости, которой предшествовали колебательные движения между кампаном и, вероятно, маастрихтом, а также складчатость на границе верхнего мела и палеогена.

Второй структурный этаж включает структуры, образованные отложениями среднего — верхнего миоцена, верхнего миоцена — плиоцена и нижне-четвертичного отдела. Различие в характере пликативных структур и несогласия между пахачинской и корфовской, а также между корфовской и апукской свитами позволили разделить второй структурный этаж на три структурных яруса. Нижний ярус образуют широкие и простые мульды, в которых участвуют молассы среднего — верхнего миоцена. Средний — пологие куполовидные структуры верхнемиоценовых — плиоценовых вулканогенных образований. И верхний — лавовые чехлы вулканических построек апукской свиты. Тектонические дислокации, проявившиеся в конце верхнемиоценовой эпохи, носили в основном характер блоковых подвижек и, очевидно, не сопровождались активными складкообразовательными процессами. В конце плиоцена — начале четвертичной эпохи рассматриваемая территория испытала сводовые поднятия, сопровождавшиеся значительными, также блоковыми, движениями субстрата, а на отдельных участках — формированием мелких брахиформных структур. В нижне-средне-четвертичное время, вероятно, продолжали существовать крупные сводовые поднятия и блоковые движения, не прекратившиеся и в настоящее время.

Рассматриваемая территория, по данным Л. А. Майкова (1960 г.), имеет следующие характеристики магнитных полей аномалий (рис. 2). В северной части района над верхнемеловыми отложениями, представленными терри-

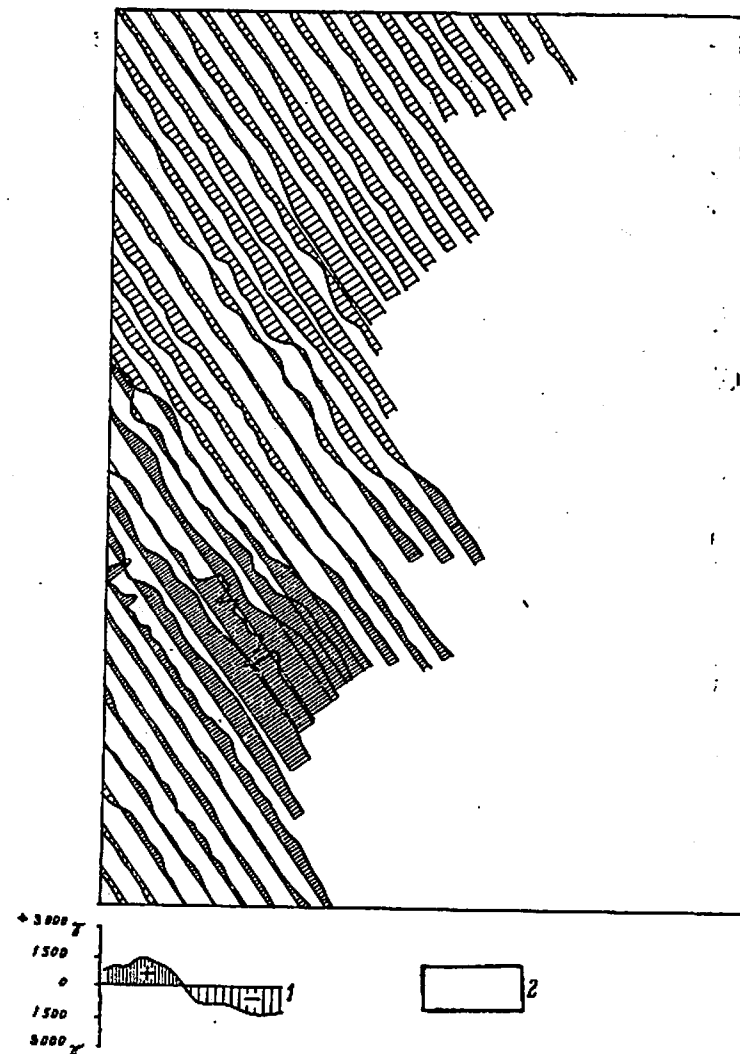


Рис. 2. Карта графиков ( $\Delta T$ )а магнитного поля, м-б 1 : 500 000.  
(Составлена по материалам Л. А. Майкова, 1960 г.)  
1 — масштаб графиков; 2 — территория, не закрытая аэромагнитной съемкой

геними и кремнистыми породами альпийской и ватынской серий, наблюдается отрицательная аномалия в 100—300 гамм. В центральной части территории в районе развития эффузивов и туфов апукской свиты отмечаются как отрицательные, так и положительные аномалии. Над вулканическим плато, лежа-

34

щим к северо-востоку от р. Майнгын-Эляйваем, магнитная аномалия отрицательная, по характеру градиентов почти не отличается от аномалий над меловыми отложениями в северной части территории. Вулканическое плато в междуречье Майнгын-Эляйваем — Майнгын-Эльвургинваем характеризуется положительной аномалией в 300—500 гамм. Однако контуры положительной аномалии на западе выходят за пределы эффузивов апукской серии и наблюдаются над отложениями верхнепахачинской подсвиты, сложенной в основном в этой части района конгломератами. На юго-западе территории развиты породы верхнепахачинской подсвиты. Аномалия над ними отрицательная, порядка 100—150 гамм. Субинтрузивные образования, сложенные дацитами, расположенные в западной части района, в магнитном поле не отмечаются, по-видимому, из-за их незначительных размеров. Характер поведения магнитных аномалий над эффузивами апукской свиты в пределах территории необычен. Северная часть вулканических плато характеризуется сравнительно ровными отрицательными значениями, а южная часть — положительными — от 100 до 700 гамм, тогда как на сопредельных территориях эффузивы апукской серии отличаются резко пилообразными знакопеременными аномалиями в 500—1000 гамм. Относительно высокая положительная магнитная аномалия продолжается и за пределами вулканического плато на запад — в район развития слабо магнитных пород верхнепахачинской подсвиты, что обусловлено, очевидно, особенностями геологического строения более глубоких участков земной поверхности.

## ГЕОМОРФОЛОГИЯ

Начало формирования горного рельефа района относится к предсреднемиоценовой эпохе — времени заложения Олюторского прогиба и развития его складчатого обрамления. В плиоцене (а, возможно, и несколько раньше) в зоне соединения складчатых структур обрамления и Олюторского прогиба происходит образование многочисленных разломов, сопровождающееся активными прявлениями наземного вулканизма. В это время создаются щитовидные вулканические постройки, составившие впоследствие вулканические горы, усилившим контрастные формы рельефа. В нижнечетвертичное время вулканализм постепенно затухает. Последующие тектонические напряжения приводят к формированию блоковых поднятий. Вследствие этого, широкое развитие приобретают процессы денудации и эрозионная деятельность рек, создавших горный рельеф, в общем близкий к современному. В верхнечетвертичное время благодаря общему походению климата на Северо-Востоке СССР, район подвергается долинному, а на отдельных участках территории, возможно, полупокровному оледенению. Развитие оледенения происходило в несколько стадий. В последнекровое время вновь усилившаяся эрозия рек, частично уничтожила ледниковые отложения. В голоцене, после эпохи климатического оптимума, образовались современные ледники. В настоящее время наблюдается неравномерное поднятие горных хребтов, сопровождаемое активной эрозионной деятельностью рек.

На рассматриваемой территории выделяются следующие три типа рельефа:

- 1) денудационно-тектонический рельеф северной части района;
- 2) вулканогенно-денудационный рельеф Апукского и Гахачинского хребтов;

3) ледниковый и экзарационно-аккумулятивный рельеф речных долин.

Первый тип рельефа развит на терригенных и вулканогенных отложениях аянской толщи, тавенской свиты и ватынской серии, а также аянкинской свиты верхнемелового возраста. Он занимает около одной четверти всей территории. Денудационно-тектонический рельеф имеет наиболее длительную историю формирования ( $N_1^2$ —QIV) и претерпел в своем развитии несколько стадий омолаживания. Горный ландшафт здесь представлен сочетанием узких гряд или групп куполовидных гор, ориентированных, в общем случае, согласно с простиранiem структур северной части района. Вершины гор преимущественно слаженные, в чем, вероятно, сказывается характер древней по-

верхности выравнивания. Отдельные гряды имеют пилообразные водоразделя. Склоны гор и обособленных возвышенностей обычно круты и по времени образования относятся к верхнему и современному отделам четвертичной системы. Этот тип рельефа приурочен к интервалу высот от 500 до 1800 м. Гидросеть в целом развивается по простирианию пород или вдоль разрывных нарушений. В верхнечетвертичную эпоху долины главных водотоков под влиянием оледенения приобрели корытообразную форму, тогда как их истоки и боковые притоки сохранили до настоящего времени V-образные долины с узким каменистым дном. С окончанием оледенения, вероятно, связана перестройка гидросети, вызванная подпруживанием ледником некоторых рек, которые, изменя свое течение, прорезали новые русла меридионального направления, образовав сквозные открытые долины (долина р. Апукваем).

Вулканогенно-денудационный тип рельефа приурочен к районам развития вулканогенных пород корфовской и апукской свит в пределах Апукского и Пахачинского хребтов. Этот тип рельефа представляет собой группы разрушенных построек древних щитовидных вулканов, от которых сохранились лишь краевые части. Центральные части вулканических построек в результате речной эрозии и денудационных процессов также утратили свою характерную форму и в современном эрозионном срезе в настоящее время это гребни с крутыми склонами и многочисленными уступами высотой 50—100 м. Вулканогенно-денудационный рельеф приурочен к высотам в интервале от 500 до 2000 м. Гидросеть в районах развития вулканогенно-денудационного рельефа располагается радиально относительно предполагаемых центров излияний. Форма долин рек корытообразная с цирками и карами в истоках.

Ледниковый и экзарационно-аккумулятивный рельеф развит преимущественно по долине р. Апукваем, по которой в верхнечетвертичное время спускался один из крупных ледников.

В северной части района в долине р. Апукваем преобладают экзарационные формы, выразившиеся в образовании борозд выпахивания и бараньих лбов, слегка прикрытых маломощной основной мореной. К югу от «Каменных Ворот» развиты типичные ледниковые формы — валы неравномерно аккумулированных боковых, конечных и основных морен. На склонах долины наблюдаются ложбины стока ледниковых вод (маргинальные каналы). Ниже их устьев, причленяясь к внешнему краю конечных морен, располагаются зандровые поля. Экзарационная роль долинного оледенения по притокам р. Апукваем выразилась в формировании узких корытообразных долин, а в их устьях — крупных ригелей. Максимальная мощность льда ледников, занимавших долину р. Апукваем и ее притоки, достигала 400 м.

Река Апукваем приурочена, вероятно, к древней долине, существовавшей до активных проявлений верхнемиоценового — плиоценового и нижне-среднечетвертичного вулакнизма. По времени образования эта долина, очевидно, относится к эпохе развития денудационно-тектонического рельефа северной части района.

В послеледниковое время, вплоть до современной эпохи происходит формирование комплексов (от 1 до 3) эрозионных террас с максимальным врезом, достигающим по долине р. Апукваем 25 м.

Современные ледники группируются в истоках р. Яёльваем Правая у высоты 1869 м и на северной оконечности Апукского хребта у высоты 2009 м. Принадлежат они к каровому типу. Гипсометрическое положение нижней границы ледников — около 1400 м, верхней — 1700 м. Яёльвайская группа состоит из пяти ледников площадью от 2,5 до 4 км<sup>2</sup>. Одни из этих ледников приурочены к глубокому кару склона северо-западной экспозиции. Площадь его около 3 км<sup>2</sup>. От северо-западного края ледника к руслу реки спускается ледниковый язык шириной 50—70 м и протяженностью около 200 м. Форма ледника вогнутая чашеобразная. На его поверхности встречаются отдельные мелкие глыбы горных пород и формируется грязеподобный поток со стоков в русло реки. Образован поток суглинком, щебенкой и глыбами горных пород. В русле реки ледниковый язык разрушается, а транспортируемый им материал заполняет речную долину, перегораживая ее грудой обломков и глыб, отмытых от суглинка и щеленки. Тело ледника

промыто водой по глубоким трещинам, в которых обнаруживается полосчатое строение льда, обусловленное чередованием полос промерзшего суглинка с обломками горных пород (5—10 см) и относительно чистого льда (10—20 см). Наблюдавшаяся по трещинам мощность ледника — около 8 м. Кроме каровых ледников во многих местах района в глубоких затененных расщелинах верховьев ручьев и нишах были встречены снежники-перелетки площадью 0,3—0,5 км<sup>2</sup>.

## ПОЛЕЗНЫЕ ИСКОПАЕМЫЕ

Карта полезных ископаемых листа Р-59-ХХI составлена по материалам геологических съемок м-бов I : 1 000 000, I : 200 000 и поисковых работ выполненных Корякской экспедицией Института геологии Арктики. Кроме того, использованы материалы геологосъемочных работ м-ба I : 500 000 и поисковых работ м-ба I : 25 000, проведенных Северо-Восточным геологическим управлением. Все данные о полезных ископаемых территории, охватываемой листом Р-59-ХХI, учтены по состоянию на 31 декабря 1965 г.

К настоящему времени на рассматриваемой территории выявлен ряд ртутных, сурьяно-ртутных, полиметаллических, медно-серебряных, мышьяковых и марганцевых проявлений, а также установлены признаки висмутовой и кобальтовой минерализации, оловянное оруденение и хрусталеность.

## МЕТАЛЛИЧЕСКИЕ ИСКОПАЕМЫЕ

### Черные металлы

Марганец. Рудопроявления марганца обнаружены на водоразделе Яёльваем Левая и Ачайваем Правая, а также на перевале из р. Нанкинатвам в р. Майваем. Генетически марганцововая минерализация связана с низкотемпературными гидротермами, сопровождающими формирование эфузивов корфовской и апукской свит.

Возможно также, что марганец является вторичным и связан с залежами марганца осадочного происхождения. Такого рода осадочные проявления марганца установлены на сопредельной территории в сенонских вулканогенно-кремнистых породах.

Марганцевое оруденение встречено в кремнистых породах ватынской серии и в вулканогенных образованиях корфовской свиты.

В верховьях р. Ачайваем Правая породы с марганцовым оруденением (39) расчистками вскрыты по простирианию на 180 м при мощности от 0,4 до 8,5 м. Оруденению здесь подверглись брекчированные яшмы, сцементированные и частично замещенные браунитом и в меньшей мере — псиломеланом. Минералы марганца образуют преимущественно массивные руды, кроме того наблюдались и брекчированные яшмы, сцементированные кварц-карбонатным цементом с тонкими (0,1 мм) прожилками, пленками и вкраченностью киновари и метацинабарита. Содержание марганца, по результатам химических анализов штуфных проб (аналитик О. Н. Сошальская), варьирует от 0,2 до 2,0%.

В истоках левого притока р. Яёльваем Левая (36) брекчированные яшмы с марганцовыми рудами прослежены на 120 м при видимой мощности оруделых пород около 10 м. В 4 км к юго-западу от этой точки аналогичные марганцевые руды встречены в делювиально-элювиальных развалих (35). Эти руды также имеют массивную, реже брекчевую текстуру. Представлены они браунитом и пиролизитом. Сопутствующими марганцовому оруденению минералами являются киноварь, пирит и марказит. Вторичные минералы — окислы и гидроокислы железа и, как исключение, псиломелан-вад.

Возможно также, что марганец является вторичным и связан с залежами марганца осадочного происхождения. Такого рода осадочные проявления марганца установлены на сопредельной территории в сенонских вулканогенно-кремнистых породах.

Марганцевое оруденение встречено в кремнистых породах ватынской серии и в вулканогенных образованиях корфовской свиты.

В верховых р. Ачайваем Правая породы с марганцевым орудением (39) расчистками вскрыты по простирианию на 180 м при мощности от 0,4 до 8,5 м. Орудению здесь подверглись брекчированные яшмы, сцепментированные и частично замещенные браунитом и в меньшей мере — псиломеланом. Минералы марганца образуют преимущественно массивные руды, кроме того наблюдались и брекчированные яшмы, сцепментированные кварц-карбонатным цементом с тонкими (0,1 мм) прожилками, пленками и вкрапленностью киновари и метацинабарита. Содержание марганца, по результатам химических анализов штуфных проб (аналитик О. Н. Сощальская), варьирует от 0,2 до 2,0%.

В истоках левого притока р. Яёльваем Левая (36) брекчированные яшмы с марганцовыми рудами прослежены на 120 м при видимой мощности оруденелых пород около 10 м. В 4 км к юго-западу от этой точки аналогичные марганцевые руды встречены в делювиально-элювиальных развалих (35). Эти руды также имеют массивную, реже брекчевую текстуру. Представлены они браунитом и пиролюзитом. Сопутствующими марганцовому орудению минералами являются киноварь, пирит и марказит. Вторичные минералы — окислы и гидроокислы железа и, как исключение, псиломелан-вад.

На перевале из р. Нанкинчатаевам в р. Майваем марганцевое оруденение (39) установлено на площади 30×100 м при видимой мощности оруденелых пород 1,5—3 м. Орудение приурочено к горизонту брекчевых лав и древнего делювия, залегающих в контакте дацитового массива и вмещающих его пироластических образований корфовской свиты. Брекчи сложены островерхольными обломками дацитов, сцепментированными псиломелан-вадом с незначительным количеством браунита, пирита, магнетита и халькопирита. В штуфах количество марганцевых минералов составляет от 15 до 30% от объема оруденелых пород. Спектральный анализ протолочек штуфных проб показал, что марганцевые руды содержат марганца более 10%, железа более 10%, молибдена 0,02%, цинка 0,03%, титана 0,2%, бария 0,04%, ванадия 0,03% и меди 0,008%.

### Цветные металлы

М е д ь. Рудопроявление меди в коренном залегании установлено в верховых р. Ачайваем Правая на руч. Медном (48). Оруденение представлено серией кварц-пирит-халькопиритовых, пирит-халькопиритовых и кварц-пиритовых жил с незначительным количеством сфалерита и гематита. Жилы приурочены к участкам катаклизированных порфиритов ватынской серии. Всего на участке медного оруденения (площадью около 2 км<sup>2</sup>) встречено пять жил, прослеженных горными выработками по простирианию (15—300°) от 5 до 40 м при мощности 1,0—2,0 м. Наибольшие содержания меди установлены в пирит-халькопиритовой жиле, прослеженной по простирианию на 5 м при мощности в 1 м. В этих рудах, по результатам химического анализа одиночной бороздовой пробы, содержание меди составляет 11,5% (Закржевский и др., 1957). Кроме меди в штуфных пробах медноколчеданных руд по результатам спектрального анализа содержится серебро в количестве 50—100 г/т и тысячные, реже сотые, доли процента кобальта, никеля и цинка.

В истоках р. Ачайваем Правая, в районе Ачайваемского ртутного рудопроявления найдена галька мраморизованного известняка, вероятно, принадлежащего отложениям ватынской серии с тонкими (менее 1 мм) прожилками самородной меди (45).

### Полиметаллические руды

Полиметаллическое оруденение пространственно связано с Яёльваемским (миоценовым) комплексом малых интрузий гранодиоритов и диорит-порфиров, а также с субвулканическими телами диоритов, андезитов и дацитов плиоценового возраста (Закржевский и др., 1960, 1961, 1962).

Наиболее широко полиметаллическое оруденение развито на междуречье Яёльваем Левая и Яёльваем Правая, где оно приурочено как к экзоконтактам малых интрузий и даек, так и вмещающим их лимонитизированным роговикам. На этом участке полиметаллические руды встречены в форме тонкой неравномерной вкрапленности, маломощных прожилков и гнезд размером от 1,5 до 4 мм. Протолочки штуфных проб оруденелых роговиков содержат в количестве до 0,1% пирротина, сфалерит, галенит и пирит. В единичных зернах присутствуют касситерит, арсенопирит, халькопирит, магнетит и гематит.

По результатам шлихового опробования и металлометрической съемки, выявленная площадь ореола рассеяния и полиметаллических руд и сопутствующего им мышьяка (9) около 30 км<sup>2</sup>.

Одно из проявлений полиметаллических руд (18) приурочено к кварц-кальцитовой жиле мощностью 30 см, прослеженной по простирианию (25°) в коренном залегании на 1,2 м. Жила сечет шток диоритов, располагающихся на междуречье Яёльваем Правая и Яёльваем Левая. Рудные минералы представлены сфалеритом и галенитом. По данным спектрального анализа штуфной пробы, руды содержат 0,2% свинца, 0,1% серебра и 0,03% цинка. В элювиально-делювиальных свалах рудные обломки, по данным спектрального анализа, содержат более 10% свинца, 0,001% серебра и 2,0% цинка.

На водоразделе рр. Нанкинчатаевам и Маневваем (правый приток р. Ачайваем) полиметаллическое оруденение (50) сопутствует мышьяковой минерализации, приуроченной к зонам гидротермально измененных турмалинизованных пород Маневваемского диоритового массива. Размер таких зон 2×8 м. Арсенопирит встречается в виде вкрапленности, иногда слагает мономинеральные прожилки (3—5 мм) и гнезда до 5 см в поперечнике. В небольшом количестве встречается пирит и халькопирит. В шлихах в районе рудопроявления установлены единичные знаки киновари, галенита, церуссита и вульфенита. По результатам спектрального анализа штуфных и бороздовых проб из рудных пород содержание мышьяка достигает 3%, свинца 0,1—0,2%, цинка 0,05—0,1%, серебра 0,002% и молибдена 0,001%.

Небольшое количество полиметаллических руд установлено в верховых левого притока р. Чингикенваем (17) и на горе Восточной (4).

На первом участке оруденение представлено пирротиновыми рудами, слагающими жилу мощностью около 1 м, приуроченную к экзоконтакту дайки диорит-порфирита, залегающей в песчанико-сланцевых отложениях. Жила прослежена по простирианию горными выработками и по делювиальным свалам примерно на 300 м. Располагается она субпараллельно дайке. Сложена жила массивным пирротином, в котором по тонким прожилкам, развивается пирит и халькопирит. По данным спектрального анализа, штуфные пробы пирротиновых руд содержат 0,001—0,003% меди, серебра, кобальта, никеля, свинца и цинка. Аналогичные пирротиновые руды наблюдались и в делювиальных свалах по левому притоку р. Яёльваем Правая (10). Рудные обломки на этом участке достигают размера 0,3—×0,4 м.

На горе Восточной, по данным А. Г. Погожева и др. (1958), полиметаллы обнаружены в лимонитизированных ороговиковых песчаниках и сланцах. Рудные минералы образуют тонкие (5—10 мм) прожилки арсенопирита и галенита. По результатам химического анализа, штуфных проб, содержание в них серебра составляет 1,0—10,0%, мышьяка 5%, свинца 3,81% и цинка 0,01%. В этих же штуфах выявлено олово в количестве 0,02—1,0%.

Незначительные содержания свинца (0,005%), цинка (0,03%) и серебра (0,001%), кроме того, установлены по данным металлометрического опробования делювия вокруг субвулканических массивов южной части Апукского хребта (52, 54).

### Благородные металлы

З о л о т о. Единичные знаки золота обнаружены в шлиховых пробах, отмытых из аллювия русла р. Апукваем и ее притоков: рр. Майнгын-Эляйваем, Аутанваем, Эгеймаваем и Хочмоваем. Вероятно, золото вымывается из ледниковых отложений.

Золото наблюдалось в форме слабоокатанных пластинок и крючковатых, с шероховатой поверхностью, зерен золотисто-желтого цвета размером до 0,1 мм.

### Редкие металлы

**Олово.** Признаки оловянного оруденения обнаружены на междуречье Яёльвайм Левая и Яёльвайм Правая (16), где кассiterитовая минерализация пространственно совпадает с проявлениями полиметаллических руд. Генетически, вероятно, оловянное оруденение связано с малыми интрузиями гранодиоритов и диоритов Яёльваймского комплекса (Закржевский и др., 1957). Кассiterит выявлен в шлиховых пробах, отмытых из делювиально-элювиальных развалов лимонитизированных роговиков в количестве до 4 г/т. В пропилочке штуфной пробы роговиков из коренного выхода кассiterит установлен в количестве восьми знаков. В протолочках кассiterит наблюдался в тонкокристаллических, иногда с коленчатыми двойниками, кристаллах бурого или светло-бурового цвета, размером менее 0,1 мм.

**Молибден.** Проявления молибдена пространственно совпадают с полиметаллическим оруденением. В бассейне р. Кай-Ачи на горе Восточной (3) молибденит образует тонкие прожилки в лимонитизированных роговиках. По результатам спектрального анализа, содержание молибдена в оруденелых породах 0,01—0,0001%.

В верховьях р. Чингиженвайям (15) роговики, по результатам спектрального анализа, содержат молибден в количестве до 0,1%. В аллювии на этом участке присутствуют единичные знаки молибдена.

**Ртуть.** Ртутная минерализация рассматриваемой территории относится к Ачайваймскому рудному полю, расположенному на восточном фланге Энычавайям-Ачайвайямской ртутноносной зоны (Б. Х. Егизаров, 1961). В пределах этого поля найдены значительные по площади шлиховые и металлометрические ореолы рассеяния, а также коренные рудопроявления киновари, иногда в ассоциации с марганцем.

Первые сведения о перспективности района на ртуть были получены Г. А. Закржевским и А. Г. Погожевым в 1956 г. Последующими съемочно-поисковыми работами м-ба 1 : 200 000 коренные рудопроявления ртути были выявлены в верховьях р. Ачайвайм Правая (Закржевский, Губанов и др., 1960, 1961), а к северо-западу от этого участка, в истоках р. Яёльвайм Левая, открыто второе довольно крупное рудопроявление ртути (Губанов, Любич, 1962).

Коренные проявления ртути, установленные на водоразделе между истоками р. Ачайвайм Правая и левым притоком р. Яёльвайм Левая, расположаются в пределах северо-западной части крупной ртутноносной зоны, протягивающейся от истоков р. Яёльвайм Левая до устья р. Эмелвайм (за пределами района). Рассматриваемый участок слагают пологозалегающие вулканические породы корфовской и апукской свит, из-под которых в эрозионных толках и узкими полосами вдоль линий тектонических нарушений, обнажаются интенсивно дислоцированные, преимущественно кремнистые отложения ватынской серии. Вулканические породы корфовской и апукской свит представлены массивными слабо трещиноватыми плитчатыми или пористыми эфузивами, перемежающимися с туфами. Отложения ватынской серии в отличие от них значительно катализированы и местами милонитизированы.

Подавляющая часть рудопроявлений ртути в коренном залегании, делювиальных рудных обломков и шлиховых пробах с весовыми содержаниями примерно 4 кг/т располагается в пределах ограниченной площади, равной в северо-западном направлении к высоте 1443 м. Эта зона рудопроявлений контролируется серией сбросов северо-западного простирации (285—310°). Ртутная минерализация приурочена к участкам интенсивной трещиноватости, межпластовым брекчиям и милонитам. Кроме того, минерализация наблюдается и по более мелким зонам дробления северо-восточного простира-

ния (40—60°), которые следует рассматривать как разрывные нарушения, опирающие сбросы северо-западного простирации.

В пределах рассматриваемой зоны рудные точки группируются в два рудопроявления: Яёльваймское (в верховьях левого притока р. Яёльвайм Левая) и Ачайваймское (в истоках р. Ачайвайм Правая).

Яёльваймское рудопроявление располагается на северо-западной оконечности рассматриваемой ртутной зоны. Площадь его около 2,5 км<sup>2</sup>. Оруденение представлено вкрашенными, прожилково-вкрашенными, гнездовыми и брекчневидными рудами. Они обнаружены главным образом в покровах пористых андезитов (31) и дайков (33) корфовской свиты. Ртутная минерализация, очевидно, имеет локальное развитие и приурочена к узким крутонаклонным или вертикальным зонам разрывных нарушений. Мощность покровов измеряется от 8—10 до 65 м. Максимальная видимая мощность оруденелых пород, вскрытая горными выработками, — 8—12,5 м.

Оруденение представлено простым типом киноварных руд с незначительным количеством самородной ртути, наблюдавшихся в ассоциации с кварцем, кальцитом, опалом, халцедоном и сидеритом. Второстепенные рудные минералы — арсенопирит, пирит, марказит, пиролюзит и браунит. Киноварь образует прожилки, пленки, налеты, примазки, гнезда и рассеянную вкрашенность. Максимальная наблюдавшаяся мощность прожилкой киновари 2—5 см при протяженности их до 1 м. Гнезда киновари достигают 1,0 см в поперечнике.

В результате химических анализов бороздовых проб на Яёльваймском рудопроявлении (аналитики О. Н. Сошальская, Р. А. Власова) в пористых андезитах и дайках (31, 33) выявлены довольно высокие, но крайне неравномерные содержания ртути, варьирующие от 0,004 до 16,15%. Так, из 59 отобранных на проявление проб, 12 содержат ртуть в количестве от 1,1 до 16,5%, а остальные — десятые и сотые доли процента. В трех штуфных пробах пористых андезитов спектральным анализом установлен мышьяк в количестве 0,5%. Менее значительное ртутное оруденение приурочено к трещинам, порам и поверхностям зеркал скольжения в покровах массивных, плитчатых и миндалекаменных андезитов и андезит-базальтов (30), в которых, по результатам химических анализов (аналитики О. Н. Сошальская, Р. А. Власова), содержится от 0,002 до 0,12% ртути.

На Ачайваймском рудопроявлении оруденение приурочено к сенонским кремнистым породам (40, 42), а также к покровам (37, 38, 43) и дайкам (41, 44) миоцен-плиоценового и нижне-среднечетвертичного возраста. Оруденение представлено преимущественно рудами прожилкового, гнездового, брекчневидного и вкрашенного типа с крайне неравномерным содержанием ртути. Из них наиболее богаты неравномерно-вкрашенные руды, приуроченные к дайке дайков (41), в которых, по данным химических анализов штуфных проб (аналитик О. Н. Сошальская), ртуть содержится в количестве от 0,0001 до 0,1%, и только отдельные штуфы содержат 0,1—0,3% ртути. Макроскопическая вкраченность (менее 0,1 мм) киновари незаметна.

Минералы ртути на Ачайваймском рудопроявлении представлены киноварью, метациннабаритом и самородной ртутью. В сенонских кремнистых породах они ассоциируют с кварцем и карбонатом. На проявлении (30) минералы ртути цементируют обломки кремнистых пород, нацело замещенные браунитом. В эфузивах апукской серии в пределах этого рудопроявления киноварь часто выполняет миндалины вместе с кварцем, халцедоном, кальцитом и цеолитами.

Яёльваймское и Ачайваймское рудопроявления окружает ореол рассеяния ртути (29) площадью около 100 км<sup>2</sup>. В пределах этой площади из делювиально-элювиальных образований отмыто около 3000 шлиховых проб, из которых примерно 15% содержат весовые количества киновари и метациннабарита от 0,001 до 6,5 кг/т, что значительно увеличивает перспективы рассматриваемого участка.

Кроме рассмотренного участка, в северной части района практический интерес имеют ореолы рассеяния киновари, выявленные в бассейнах рр. Кай-Ачи (6), Яёльвайм (7, 11) и на водоразделе рр. Яёльвайм Левая и Ачайвайм

**Правая (29).** Содержания киновари в шлихах здесь — от единичных знаков до 1 г/т. Металлометрическим опробованием (контуры 8, 12—28, 46, 47) установлено содержание ртути от 0,00005 до 0,003%. В пределах ореола рассеяния, охватывающего бассейн р. Кай-Ачи, в непосредственной близости от зоны брекчированных песчаников, по данным А. Г. Погожева и др. (1958), найдена галька оруденелых пород, в которых киноварь образует мелкую вкрапленность (менее 0,1 мм). По результатам спектрального анализа, содержание ртути в них 0,83%. С незначительным содержанием ртути (0,0005—0,005%) выявлен ореол рассеяния в верховых р. Маневваема (49).

Ртутное оруденение относится к средне-низкотемпературным стадиям гидротермальной пост vulkanической деятельности, связанной, вероятно, с миоценовым — плиоценовым и нижнечетвертичным этапом вулканизма.

**Сурьма.** Проявление сурьмяного оруденения самостоятельного значения не имеют, обычно они ассоциируют с киноварью. Минералы сурьмы в коренном залегании встречены в среднем течении р. Кай-Ачи (2) в лимонитизированных роговиках вблизи даек гранодиоритов и диорит-порфиритов. Они представлены прожилками антимонита мощностью от 3 до 5 см с редкой вкрапленностью зерен киновари размером до 0,1 мм. По данным химических анализов одиночных штуковых проб (А. Г. Погожев, 1956 г.), содержание сурьмы колеблется от 12,7 до 20,3%.

Кроме того, сурьма установлена в единичных металлометрических пробых, отобранных из обогренного делювиально-элювиального суглинка в районе водораздела рр. Яёльваем Левая и Яёльваем Правая (19), где содержание ее достигает 0,5%. В верховых р. Маневваема (51) содержание сурьмы в металлометрических пробах — 0,005—0,07%. Шлиховым опробованием здесь же в аллювии выявлены единичные знаки антимонита.

**Висмут.** Коренное проявление висмута установлено (Терешков, Мерзляков, и Сапрыкина, 1963) в пределах Яёльваемского ртутного участка на водоразделе между истоком р. Ачайваем и левым притоком р. Яёльваем Левая среди вулканогенных образований корфовской свиты (32). Висмутовое оруденение приурочено к штокообразному телу (размером 0,065 км<sup>2</sup>), сложенному кварц-карбонат-турмалиновой породой с обильной вкрапленностью сульфидов. В районе штока гидротермально измененные породы корфовской свиты прослежены на расстоянии до 2 км при мощности 10—50 м. По данным спектрального анализа единичной штуковой пробы измененных пород, установлены: висмут более 0,5%, кобальт 0,5%, мышьяк более 0,6%, ртуть 0,1%, сурьма 3,0%, медь 0,002% и марганец 1,0%.

Вокруг коренного проявления висмута, по данным шлихового опробования (Закржевский, Губанов, 1961; Губанов, Любич, 1962), оконтурен ореол рассеяния единичных (до 10) знаков висмутина на площади около 15 км<sup>2</sup> (34). Висмутин наблюдался в виде мелких (0,1—1,0 мм) зерен неправильной формы. С поверхности зерна висмутина покрыты тонкой пленкой базовисмутита.

## НЕМЕТАЛЛИЧЕСКИЕ ИСКОПАЕМЫЕ

### Оптическое сырье

**Горный хрусталь.** Обломки кристаллов водяно-прозрачного горного хрустала найдены среди делювиально-элювиальных развалов роговиков, связанных с комплексом малых интрузий. В верховых р. Чингиженваем (14) на площади около 0,25 км<sup>2</sup> наблюдались кристаллы горного хрустала размером от 2×6 до 2×12 см.

### Строительные материалы

**Известенные породы.** В центральной и южной частях района широким распространением пользуются пологозалегающие эфузивы плиоцен-нижнечетвертичного возраста, среди которых значительное количество составляют покровы базальтов, андезит-базальтов и андезитов. Мощность

покровов эфузивов от 5 до 50 м. Системы первичной трещиноватости в них обусловливают хорошо выраженные пластовую, столбчатую и плитчатую формы отдельности. Монолитные блоки в покровах обычно не превышают 0,25—1,0 м<sup>3</sup>. Эфузивы могут быть использованы на бутовый камень, щебень, брускатку и как блоковый камень.

В северной части района в строительных целях могут разрабатываться диориты и гранодиорит, слагающие малые интрузии Яёльваемского комплекса. Диориты и гранодиориты имеют мелко- и среднекристаллическое строение, массивную текстуру. Благодаря системам хорошо развитой матрацевидной и параллелепипедальной отдельности в них наблюдаются массивные блоки размером до 2×3×4 м.

В качестве сырья для изготовления цементов могут, вероятно, использоваться разнообразные туфы и туфоконгломераты апукской серии. Однако заключение о пригодности туфов для практических целей возможно лишь после проведения соответствующих технических испытаний.

**Обломочные породы.** На рассматриваемой территории наблюдаются полимиктовые пески, супеси, суглинки, гравий и валунный материал. Они сконцентрированы по долине р. Апуквам и долинам ее наиболее крупных притоков, однако запасы этих материалов незначительны.

В приступьевской части р. Яёльваем в аллювиальных террасах высотой до 7 м, мощности горизонтов галечников и гравия составляют 1,0—3,0 м. Гальяк и гравий этих отложений представлены печниками, базальтовыми порфиритами и гранитондами. Полимиктовые пески встречены в среднем течении р. Майнгын-Эляйваем среди водноледниковых отложений. На этом участке пески слагают горизонты мощностью до 15—20 см, переслаивающиеся с супесями, суглинками и гравием. Мощность этих отложений 12 м.

Валунный материал, галечники, гравий также слагают современные руслоевые и пойменные отложения. Высота пойменных террас составляет 0,5—3,0 м.

На рассмотренной территории выявлены ртутные проявления, представляющие доисковый интерес. Это обстоятельство выдвигает всю северную часть района в разряд перспективных в отношении возможного обнаружения значительных концентраций ртути. Наиболее интересный объект заслуживающий постановки поисковых (м-б 1 : 5000) разведочных работ — участок водораздела между рр. Яёльваем Левой и Ачайваем Правой (Яёльваемское и Ачайваемское проявление). На этом участке благоприятнымиrudовмещающими горизонтами являются пологозалегающие покровы пористых верхнекомицен-плиоценовых и нижнечетвертичных эфузивов в местах пересечения их зонами разрывных нарушений, где содержание ртути достигает 16,5%. При производстве работ необходимо обратить внимание на изучение трещинной тектоники участка, что позволит выявить закономерности размещения и характер рудных тел, а также на висмутовую минерализацию, масштабы которой могут оказаться значительными.

Не меньший интерес представляет полиметаллическая минерализация, пространственно связанные с Яёльваемским комплексом малых интрузий, а также медно-серебряное оруденение, выявленное на руч. Медном (правый приток р. Ачайваем). Количество серебра в полиметаллических рудах достигает 10%. Дальнейшего изучения требует оловянная минерализация и хрусталеносность с целью определения масштабов оруденения и установления генетической связи с магматическими проявлениями.

Наличие пирротиновых руд (в районе Яёльваемских малых интрузий), содержащих незначительное (0,001—0,003%) количество никеля, свидетельствует о возможном обнаружении никелевого оруденения. Этот участок заслуживает проведения детальных лонсковых и опробовательских работ.

Широкое развитие мощных толщ моласс, выполняющих Олюторский прогиб, позволяет считать исследованный район возможно перспективным в отношении нефтегазоносности.

Практически неисчерпаемы в районе различные строительные материалы — базальты, андезиты и андезит-базальты, и разнообразные туфы. При

производстве дальнейших работ по изучению верхнемиоценовых — плиоценовых и нижне-среднечетвертичных эфузивов следует обратить особое внимание на поиски месторождений алюнита и перлита.

## ПОДЗЕМНЫЕ ВОДЫ

Территория расположена в области развития многолетней мерзлоты, которая и определяет в основном гидрогеологическую характеристику района. Из подземных вод в районе установлены только надмерзлотные воды, приуроченные к деятельному слою. Деятельный слой, полностью промерзающий в зимнее время, начинает оттаивать в начале июня. Наибольшая глубина оттаивания приходится на середину сентября. Мощность деятельного слоя меняется в зависимости от литологического состава отложений района, положения их в рельфе, характера растительности и колеблется от 0,5 до 3,0 м. Питание горизонта надмерзлотных вод осуществляется за счет инфильтрации атмосферных осадков и оттаивания мерзлых грунтов. Водоупором для него служит поверхность мерзлых отложений.

Незначительная мощность деятельного слоя обуславливает приповерхностное стояние надмерзлотных вод, что приводит к образованию заболоченных пространств, возникающих на плоских водоразделах, поверхностях высокой поймы и надпойменных террасах. Болотные воды обычно имеют приятный запах гнили.

Наиболее водоносны в районе слабосцементированные песчаниковые образования пахачинской свиты среднего верхнего миоцена и современные рыхлые образования, развитые в пониженных участках территории и по долинам крупных рек. Отложения пахачинской свиты характеризуются хорошими коллекторами вод пластово-порового типа. Воды современных аллювиальных отложений приурочены к пойменным и надпойменным террасам рр. Апуквам, Пахача и их крупных притоков. Значительная мощность аллювия приводит к накоплению в нем больших запасов подземных вод, приток которых настолько велик, что проходка горных выработок на всю мощность аллювия в летнее время требует интенсивного водоотлива. На пойменных террасах уровень грунтовых вод фиксируется на глубинах от 0,5 до 3 м от поверхности. Элювиально-делювиальные образования сильно насыщены водой как у подножий гор, так и на их плоских вершинах, а в верхних частях склонов сдренированы или водонасыщенность их слабая.

Менее водообильны песчанико-сланцевые отложения аяонской толщи, тавенской свиты и вулканогенно-кремнистые образования ватынской серии, а также эфузивно-пирокластические толщи корфовской и апукской свит. В них развиты трещинные воды, связанные с интенсивной трещиноватостью пород в приповерхностной зоне. Однако в условиях сильно расчлененного рельефа в этих отложениях значительных скоплений воды не образуется. Их водообильность повышается лишь в период дождей. Выпадающие осадки быстро накапливаются приповерхностью трещиноватой зоной, тогда как большая их часть сразу же выходит на поверхность в виде временных источников у подножия склонов и сбрасывается в реки или озера. Дебит этих источников непостоянен и редко достигает 1 л/сек.

Слабо обводнены ледниковые и водно-ледниковые валунные суглинки, особенно широко распространенные по долине р. Апуквам.

Активная подвижность надмерзлотных вод деятельного слоя в летнее время обуславливает широкое развитие солифлюкционных оползней, что приводит к образованию солифлюкционных террас, потоков, асимметричных склонов долин. В зимнее время с промерзанием деятельного слоя связано образование морозобойных трещин, наледей (среднее течение р. Кай-Ачи), мерзлотных бугров пучения, полигональных и медальонных форм вымораживания.

Надмерзлотные воды характеризуются низкими температурами, слабой минерализацией. Обычно они прозрачные, без запаха и в летнее время вполне пригодны для питья и для технических целей.

Выходов на поверхность межмерзлотных и подмерзлотных вод не обнаружено.

Признаками деятельности современных восходящих источников, связанных, очевидно, с поступланическими гидротермами, следует считать травертины, обнаруженные на смежной к востоку территории (Закржевский и др., 1962). Эти травертины образованы источником углекислого состава со значительной магниевой, марганцевой и мышьяковой минерализацией. Не исключена возможность обнаружения подобных восходящих источников и на рассматриваемой территории, на участках распространения верхнемиоцен-плиоценовых и нижне-среднечетвертичных вулканических образований.

Изученная территория в целом вполне обеспечена водой рек и озер, пригодной для питья и технических нужд.

## ЛИТЕРАТУРА

### Опубликованная

Владавец В. И. О вулканической тектонике. К вопросу о происхождении некоторых вулканических трещин. Бюлл. Вулк. ст., вып. 23, М., 1954.

Егизаров Б. Х., Закржевский Г. А. Кайнозойский вулканизм восточной части Корякского хребта. Тр. НИИГА, т. 114, вып. 14, 1960.

Егизаров Б. Х., Русаков И. М. Тектоническая карта Корякской складчатой системы в м-бе 1 : 2 500 000. М., Госгеолтехиздат, 1963.

Егизаров Б. Х., Кристофович Л. В., Пичугина Г. К. Палеогеновые и неогеновые отложения восточной части Олюторского прогиба. В кн. «Геология Корякского нагорья». М., Госгортехиздат, 1963.

Егизаров Б. Х. Объяснительная записка к Государственной геологической карте м-ба 1 : 1 000 000 (лист Р-59). М., Госгеолтехиздат, 1963.

Пагольский Н. Н. Новые данные о палеогеновых отложениях центральной части Корякского нагорья. «Докл. АН СССР», т. 163, № 6, 1965.

Погожев А. Г., Семёкин А. И. Третичные отложения Северо-Востока СССР. Тр. совещ. по стратиграфии Северо-Востока СССР, Магадан, 1959.

Русаков И. М. Объяснительная записка к Государственной геологической карте м-ба 1 : 1 000 000 (лист Р-60). М., Госгеолтехиздат, 1962.

### Фондовая<sup>1</sup>

Белков Е. Е., Осипова Г. Н. Материалы по полезным ископаемым юго-восточных склонов центральной части Корякского хребта. 1958.

Губанов И. В., Любич И. Б. Полезные ископаемые верховьев р. Яэльвам Левая. 1962.

Дегтяренко Ю. П. К вопросам стратиграфии четвертичных отложений и геоморфологии Корякской горной системы. Предварительный отчет по разделу темы № 237. 1961.

Дитмар А. В., Успенский А. Н., Финогенов А. С. Геологическое строение и полезные ископаемые северо-восточной части листа Р-59-ХХII (район верховьев рек Укэлаят, Ильпи, Матыскен). 1961.

Егизаров Б. Х., Дунко О. П. и др. Геология и полезные ископаемые восточной части Корякского нагорья. Отчет по теме № 237. 1962.

Закржевский Г. А., Дегтяренко Ю. П., Коган А. Я. Геологическое строение и полезные ископаемые бассейна р. Апуквам (центральная часть Корякского хребта). 1957.

Закржевский Г. А., Губанов И. В., Устинов Н. В. Геологическое строение и полезные ископаемые северо-восточной части листа Р-59-ХХI (бассейн р. Яэльвам). 1960.

<sup>1</sup> Фонды НИИГА.

Закржевский Г. А., Агесв К. С. и др. Геологическое строение и полезные ископаемые центральной части листа Р-59-XXI. 1961.  
 Закржевский Г. А., Губанов И. В. Геологическое строение и полезные ископаемые верховьев р. Ачайваем Правая. 1961.  
 Закржевский Г. А., Устинов Н. В. и др. Геологическое строение и полезные ископаемые южной части листа Р-59-XXI и юго-западной части листа Р-59-XXII. 1962.

Майков Л. А., Бронштейн Б. М. и др. Отчет о работе Северо-Корякской аэромагнитной партии за 1959 г. Выписки из отчета, 1960.  
 Пагольский Н. Н., Косько М. К., Ермаков Б. В. Геологическое строение и полезные ископаемые западной части листа Р-59-XXI (правобережье среднего течения р. Апукваем). 1960.

Погожев А. Г., Садреев А. М. Отчет о работе Верхне-Пахачинской геологосъемочной партии. 1958.

Терешков В. Г., Мерзляков Н. И., Сапрыкина Л. Г. Отчет о работе Ачайвамской геологопоисковой партии м-ба 1:25 000 за 1962 г. Фонды СВГУ, 1963.

Ярмолюк В. А. Геологические исследования в Олюторском районе Камчатской обл. в 1952 г. (Отчет объединенной группы партий геологосъемочных партий экспедиции № 3 КГУ.) 1952.

ПРИЛОЖЕНИЕ I  
СПИСОК МАТЕРИАЛОВ, ИСПОЛЬЗОВАННЫХ  
ДЛЯ СОСТАВЛЕНИЯ КАРТЫ ПОЛЕЗНЫХ ИСКОПАЕМЫХ

Номер по п/п	Фамилия и инициалы автора	Название работы	Год составления или издания	Местонахождение материала, его фондовый номер
1	Белков Е. Е., Осипова Г. Н.	Мат-лы по полезным ископаемым юго-восточных склонов центральной части Корякского хребта	1958	Фонды НИИГА, 3017
2	Губанов И. В., Любич И. Б.	Полезные ископаемые верховьев р. Яёльваем Левая	1962	Там же, 3704
3	Закржевский Г. А., Дегтяренко Ю. П., Коган А. Я.	Геологическое строение и полезные ископаемые бассейна р. Апукваем (центральная часть Корякского хребта)	1957	Там же, 2986
4	Закржевский Г. А., Губанов И. В., Устинов Н. В.	Геологическое строение и полезные ископаемые северо-восточной части листа Р-59-XXI (бассейн р. Яёльваем)	1960	Там же, 3444
5	Закржевский Г. А., Ггеев К. С., Губанов И. В., Устинов Н. В.	Геологическое строение и полезные ископаемые центральной части листа Р-59-XXI	1961	Там же, 3553
6	Закржевский Г. А., Губанов И. В.	Геологическое строение и полезные ископаемые верховьев р. Ачайваем Правая	1961	Там же, 3765
7	Закржевский Г. А., Устинов Н. В., Поляков М. М., Матвеев В. В.	Геологическое строение и полезные ископаемые южной части листа Р-59-XXI и юго-западной части листа Р-59-XXII	1962	Фонды НИИГА, 3759
8	Пагольский Н. Н., Косько М. К., Ермаков Б. В.	Геологическое строение и полезные ископаемые западной части листа Р-59-XXI (правобережье среднего течения р. Апукваем)	1960	Там же, 3371
9	Погожев А. Г., Садреев А. М.	Отчет о работе Верхнепахачинской геологосъемочной партии	1958	Там же, 3090
10	Терешков В. Г., Мерзляков Н. И., Сапрыкина Л. Г.	Отчет о работе Ачайвамской геологосъемочной партии	1963	Фонды СВГУ, 013994

**ПРИЛОЖЕНИЕ 2**  
**СПИСОК ПРОЯВЛЕНИЙ ПОЛЕЗНЫХ ИСКОПАЕМЫХ,**  
**ПОКАЗАННЫХ НА ЛИСТЕ Р-59-XXI КАРТЫ ПОЛЕЗНЫХ**  
**ИСКОПАЕМЫХ м-ба 1:200 000**

Номер по карте	Индекс клетки по карте	Название проявления и вид полезного ископаемого	Характеристика проявления	Номер используемого материала по списку
<b>Металлические сланцы</b>				
<i>Марганец</i>				
35	II-4	Р. Яёлваям Левая	Коренные выходы марганцевых руд (браунит и пиролюзит), замещающих яшмы убогая вкрапленность киновари	2
36	II-4	Там же		6
39	II-4	Р. Ачайваям Правая	Брекчированные и массивные руды (браунит и писломелан), цементирующие и замещающие обломки кремнистых пород. Прожилки, пленки и вкрапленность киновари и метациннабарита	6
53	IV-4	Перевал из р. Нанкинатваем в р. Майваем	Вулканические брекчи, сцементированные писломеланом и браунитом	2,6
<i>Медь</i>				
45	II-4	Р. Ачайваям Правая	Прожилки самородной меди в гальке известняка	6
48	II-4	Р. Ачайваям Правая (руч. Медный)	Пирит-халькопиритовые и кварц-пирит-халькопиритовые жилы в порфиритах	3,4
<i>Полиметаллические руды</i>				
4	I-1	Гора Восточная	Прожилки арсенопирита в лимонитизированных ороговикованных песчаниках и сланцах	8,9
9	I-4	Междуречье Яёлваям Левая и Яёлваям Правая	Ореол рассеяния свинца, цинка, серебра и мышьяка	4

Продолжение прилож. 2

Номер по карте	Индекс клетки по карте	Название проявления и вид полезного ископаемого	Характеристика проявления	Номер используемого материала по списку
10	I-3	Там же	Делювиальные свалы пирротиновых руд	4
17	I-4	Р. Чингикенваем	Пирротиновая жила в экзоконтакте дайки диорит-порфирита	4
18	I-4	Междуречье Яёлваям Левая и Яёлваям Правая	Кварц-кальцитовая жила с прожилками галенита и сфалерита в диоритах	4
50	III-4	Водораздел рр. Нанкинатваем и Маневваем	Арсенопиритовое оруденение с полиметаллами в гидротермально измененных диоритах	3,4
52, 54	IV-3,4	Р. Аутанваем	Ореолы рассеяния свинца, цинка и серебра	7
<i>Олово</i>				
16	I-4	Междуречье Яёлваям Левая и Яёлваям Правая	Тонкая вкрапленность кассiterита в лимонитизированных кварц-сернит-турмалиновых и кварц-сернит-хлоритовых роговиках в экзоконтакте дайки гранодиоритов	3,4
<i>Молибден</i>				
3	I-1	Гора Восточная	Тонкие прожилки молибдена в лимонитизированных роговиках	9
15	I-4	Р. Чингикенваем	Штуфная проба делювиальных обломков роговиков с тонкой вкрапленностью молибдена	3,4
<i>Ртуть</i>				
1	I-1	Р. Кай-Ачи	Убогая вкрапленность киновари в обломкахбрекчированных песчаников из гальки аллювия	9

Продолжение прилож. 2

Номер по карте	Индекс клетки по	Название	Состав	Номер используемого материала по списку
		Мелкозернистый	Вкрапленность киновари (менее 0,1 мм) в обожженных и карбонатизированных песчаниках. По данным спектрального анализа, содержание ртути — 0,0001—0,005%	9
6	I-1	Р. Қай-Ачи	Ореол рассеяния киновари с содержаниями от 1 знака до 1 г/т	3,8
7	I-3	Р. Яёлваем Правая	Ореол рассеяния киновари от 0,1 до 1 г/т	4
8	I-3	Там же	Делювиально-элювиальная щебенка песчаников с ртутью в количестве 0,00005—0,001%	4
11	I-3	Водораздел рр. Яёлваем Правая и Никиваем	Ореол рассеяния с редкими и единичными знаками киновари	4
12	I-3	Там же	Делювиально-элювиальная щебенка песчаников. Содержания ртути 0,00005—0,0001%	4
13, 20, 21, 22	I-3, 4	Р. Яёлваем Левая		
23, 24, 25, 26, 27	II-3	Там же	Мелкие ореолы рассеяния с содержаниями ртути 0,00005—0,003%	4
28 46, 47	II-3 II-4	Водораздел рр. Млётваям и Нанкинчатаям		
29	II-4	Водораздел рр. Яёлваем Левая и Ачайваем Правая	Ореол рассеяния киновари. Содержания киновари от единичных знаков до 6,5 кг/т	3, 4, 5, 6
30	II-4	Там же	Прожилки и вкрапленность киновари с кальцитом в покровах андезито-базальтов	2

Номер по карте	Индекс клетки по карте	Название проявления и вид полезного ископаемого	Характеристика проявления	Номер используемого материала по списку
31	II-4	Водораздел рр. Яёлваем Левая и Ачайваем Правая	Прожилки и вкрапленность киновари (как исключение, самородной ртути) с кальцитом, кварцем, халцедоном и сидеритом, в интенсивно трещиноватых пористых покровах андезитов	2
33	II-4	Водораздел рр. Яёлваем Левая и Ачайваем Правая	Прожилки, вкрапленность и гнезда киновари с опалом, халцедоном, кварцем и кальцитом в трещиноватых, интенсивно измененных покровах пористых дакитов	2
37	II-4	Водораздел рр. Яёлваем Левая и Ачайваем Правая	Прожилки и гнезда киновари с кварцем и карбонатом, в покрове гидротермально измененных андезитов	6
38	II-4	Там же	Макроскопически невидимая киноварь в трещиноватых андезитах. Содержания ртути в протолочках штуфов — 0,01%	6
40	II-4	" "	Прожилки и гнезда киновари и метациннабарита с кварцем и кальцитом в брекчированных и милобитизированных кремнистых породах, частично замещенных минералами марганца	6
41	II-4	" "	Неравномерная вкрапленность, прожилки киновари и метациннабарита в дакитах, слагающих дайку	6
42	II-4	Водораздел рр. Яёлваем Левая и Ачайваем Правая	Пленки киновари в трещиноватых яшмах, частично замещенных минералами марганца	6

Продолжение прилож. 2

Номер по карте	Индекс клетки по карте	Название проявления и вид полезного ископаемого	Характеристика проявления	Номер использованного материала по списку
43	II-4	Там же	Прожилки, налеты и гнезда киновари с кварцем и карбонатом в покровах трещиноватых массивных и пористых андезитов	6
44	II-4	" "	Вкрапленность киновари и самородной ртути в дайках андезитов	6
49	III-4	Р. Маневваям	Ореол рассеяния с содержанием ртути 0,0005—0,003%	5

*Сурьма*

2	I-1	Р. Кай-Ачи	Прожилки антимонита с узкой вкрапленностью киновари в ороговиковых песчаниках	9
19	I-4	Водораздел рр. Яёльвайм Левая и Яёльвайм Правая	Делювиально-элювиальный суглинок	4
51	III-4	Р. Маневваям	Обохранный делювий диоритов с вкрапленностью антимонита	5

*Висмут*

32	II-4	Водораздел рр. Ачай и Яёльвайм Левая	Вкрапленность висмутина в кварц-карбонат-турмалиновых породах	10
34	II-4	Там же	Ореол рассеяния висмутина	10

**Неметаллические ископаемые**

*Горный хрусталь*

14	I-4	Верховья р. Чингикенва- ям	Делювиальные развалины кристаллов горного хрусталия	1,4
----	-----	----------------------------	---	-----